

La Cansaladeta

(La Riba, Alt Camp)

maig 2007



Memòria

d'excavació programada

Memòria d'excavació programada

La Cansaladeta

(La Riba, Alt Camp)

realitzada entre els dies 7 i 25 de maig de 2007

Direcció de l'excavació:

Josep Maria Vergès Bosch

Tarragona, novembre de 2007

Elaboració de la memòria:

Neetu Agarwal, Budiman, Andrés Avelino Fernández, Marta Fontanals, Paola García, Núria Geribàs, Juan Ignacio Morales, Sayantani Neogi, Andreu Ollé, Luna Peña, Xosé Pedro Rodríguez i Josep Maria Vergès

Participació a l'excavació:

Neetu Agarwal, Budiman, Andrés Avelino Fernández, Marta Fontanals, Paola García, Núria Geribàs, Juan Ignacio Morales, Sayantani Neogi, Andreu Ollé, Luna Peña i Josep Maria Vergès

FITXA TÈCNICA GENERAL

Nom del jaciment: La Cansaladeta

Terme municipal: La Riba

Comarca: Alt Camp

Coordenades UTM: X=348.050 / Y= 4.575.380

Altitud: 265 metres s.n.m.

Accès: Es troba al peu de la carretera C-240

Context: En uns bancals de conreu abandonats, en el tall de la carretera C-240 al seu pas per l'estret de la Riba.

Tipus de jaciment: Abric calcari amb una successió sedimentària al·luvial i col·luvial que conté diversos nivells arqueològics.

Cronologia: Plistocè mitjà

Direcció: Josep M. Vergès Bosch

Intervenció: entre els dies 7 i 25 de maig de 2007

Estat de conservació: Mitjà, exposat als efectes de l'erosió.

Protecció: Geotextil cobert amb sediment a la zona intervinguda

Sigles del material recuperat: CAN07 + Nivell + quadrícula + núm. objecte

Propietari dels terrenys: Família Muller

Promotor: Universitat Rovira i Virgili

Finançament: Generalitat de Catalunya i Universitat Rovira i Virgili

Materials: En dipòsit dels directors de l'excavació a l'Àrea de Prehistòria de la Universitat Rovira i Virgili.

1

INTRODUCCIÓ

pàgina 4

2

LOCALITZACIÓ DEL JACIMENT

pàgina 7

3

CONTEXT GEOLÒGIC

pàgina 8

4

HISTÒRIA DE LES INTERVENCIIONS

pàgina 9

5

MOTIVACIÓ I OBJECTIUS DE LA INTERVENCIÓ

pàgina 11

6

METODOLOGIA

pàgina 12

7

ESTRATIGRAFIA

pàgina 13

8

CONCLUSIONS

pàgina 20

A1

ANNEX 1: DIARI DE CAMP

pàgina 21

A2

ANNEX 2: INVENTARI GENERAL

pàgina 30

A3

ANNEX 3: ESTUDI DELS MATERIALS

pàgina 44

A4

ANNEX 4: FOTOGRAFIES DELS MATERIALS

pàgina 48

A5

ANNEX 5: PLANIMETRIA I PLANTES

pàgina 52

9

BIBLIOGRAFIA

pàgina 54

Introducció 1

Entre els dies 7 i 25 de maig de 2007 va ser realitzada la sisena campanya d'excavacions al jaciment paleolític de La Cansaladeta (La Riba, Alt Camp). Un equip format per investigadors i estudiants del Master en Quaternari i Prehistòria de la Universitat Rovira i Virgili va intervenir en tres nivells arqueològics que corresponen al Plistocè mitjà. Concretament van ser excavats els nivells D, L i M, que van proporcionar eines lítiques i restes òssies. Aquest fet converteix La Cansaladeta en un dels pocs jaciments de Paleolític inferior dels Nord-est de la Península Ibèrica amb indústria lítica i fauna en context estratigràfic.

Les set campanyes arqueològiques portades a terme fins al moment actual han permès registrar més de 6000 ítems, la majoria artefactes lítics (n=5766). Les perspectives de futur d'aquest jaciment són molt interessants, ja que hem identificat onze nivells arqueològics, que encara no han estat excavats en tota la seva extensió.

D'altra banda, l'obtenció de datacions radiomètriques en un futur pròxim facilitarà la contextualització del registre arqueològic de la Cansaladeta en el marc del Plistocè mitjà a Catalunya i la Península Ibèrica.

Localització del jaciment 2

El jaciment de la Cansaladeta està situat al terme municipal de la Riba (Alt Camp), a la riba esquerra del riu Francolí al seu pas per l'estret de la Riba, dins la zona coneguda com a Coster de la Cansaladeta. Els nivells arqueològics es localitzen a la part superior d'una terrassa fluvial seccionada per les obres d'ampliació de la carretera C-240. Més concretament, el dipòsit sedimentari que conté els materials arqueològics es troba situat al peu d'un antic abríc, avui en dia totalment desmantellat, a una alçada de 265 metres s.n.m., i de 50 metres sobre el llit actual del riu Francolí. Les seves coordenades UTM són X: 348.075 Y: 4.575.380.

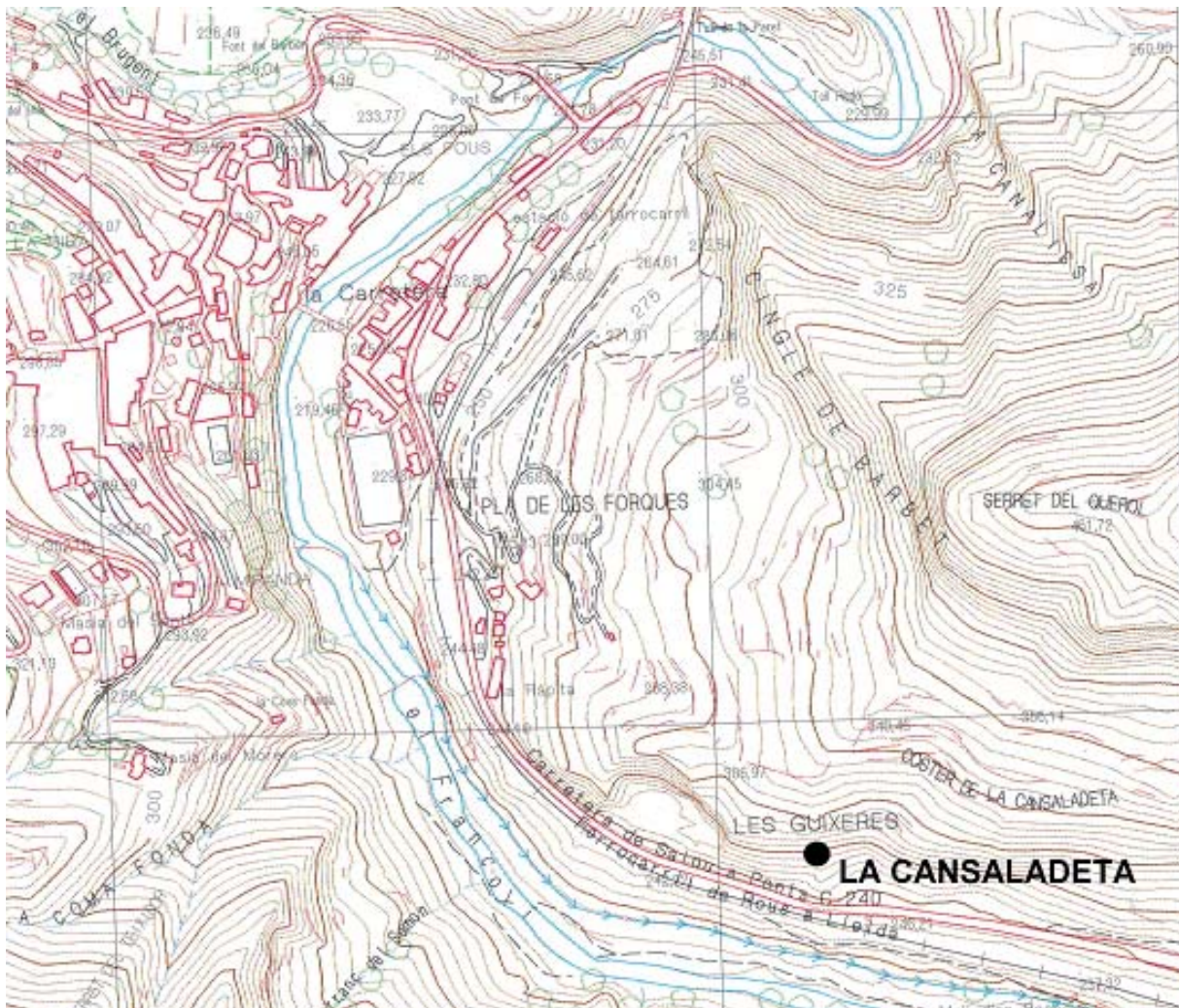


Figura 1. Situació del jaciment de la Cansaladeta. Extret del mapa topogràfic de Catalunya 1:5.000. Full 446-1-1. La Riba

Context geològic 3

Des d'una perspectiva geològica, l'Estret de la Riba es troba a la Serralada Prelitoral, unitat estructural que forma part del sistema de les Catalànides. Aquest massís, aproximadament paral·lel a la línia de costa, constitueix un bloc tectònic aixecat que divideix dues depressions tectòniques, la Conca de Barberà cap al N i el Camp de Tarragona cap al S. L'Estret de la Riba, que talla aquesta serra muntanyosa i separa el Massís de Prades de la Serra de Miramar, permet les comunicacions entre la Depressió Central Catalana i la franja costanera.

L'esquelet geològic de la Serralada prelitoral està format per formacions rocoses del Paleozoic i del Mesozoic, majoritàriament d'origen sedimentari. A la zona de l'Estret de la Riba afloren unitats sedimentàries del Triàsic (245-208 milions d'anys), formades per gresos i microconglomerats vermel·losos (unitat esmentada com Bundsantstein) i per calcàries ben estratificades i guixos (cfr. Muschelkalk). Totes aquestes unitats cabussen irregularment cap al nord, i estan caracteritzades per diversos accidents estructurals com falles i plecs. L'alternança entre litologies amb diferent grau de resistència a l'erosió causa la formació del perfil esglaonat, que és un dels trets més destacats de la morfologia de la vall. Probablement aquesta vall està alineada amb una falla.

Pel que fa les formacions quaternàries, a l'Estret es troba una panòpia de sediments de gènesi diferencial. Els sediments fluvials estan ben representats per la presència d'uns quants nivells de terrasses fluvials amb diferent grau de conservació, on afloren graves i llims al·luvials. Els dipòsits de vessant estan formats per col·luvions i sediments de peu de mont que recobreixen els flancs de la vall i que es poden correlacionar amb les mateixes terrasses al·luvials. La seqüència de les diverses terrasses i glacis ens permetrà reconstruir l'evolució morfodinàmica de la vall i les diferents etapes de rebliment i encaixonament del riu. El jaciment de la Cansaladeta es troba en la part estratigràficament més alta d'una terrassa al·luvial, localitzada aproximadament a 40-45 metres d'alçada sobre el llit actual del riu Francolí.

No es registren formacions de tova de tipus travertínic en la pròpia vall, però es desenvolupen a la vora esquerra del Francolí, a la sortida de l'Estret de La Riba. Els sols antics són poc desenvolupats, degut a l'elevada energia del relleu, que impedeix la conservació dels perfils edàfics.

Història de les intervencions 4

Fins al moment de la seva descoberta, realitzada de forma casual l'octubre de 1998 per part de membres de l'equip de l'Àrea de Prehistòria de la Universitat Rovira i Virgili, no es tenia notícia de l'existència del jaciment de la Cansaladeta. Tot i que el seu dipòsit sedimentari es va veure afectat per les obres d'ampliació realitzades la carretera C-240 a inicis dels anys 80, amb la destrucció d'una part significativa del jaciment, la manca d'un seguiment arqueològic dels treballs impedí que en aquell moment es portés a terme la localització i documentació del jaciment.

El juny de 1999 es va realitzar una excavació d'urgència encaminada a intervenir en la zona sudest del jaciment (est teòric), el sector més afectat per l'erosió, per tal d'evitar-ne la pèrdua, elaborar una seqüència del jaciment i valorar la viabilitat de futures campanyes d'excavació. El jaciment i els primers resultats es presentaren al cicle Tribuna d'Arqueologia 2000 (Angelucci et al. 2003). L'octubre de 2002 es va realitzar una excavació programada, que va afectar tota l'àrea intervinguda el 1999, i que comportà una petita ampliació cap al sud (veure planimetria a la memòria presentada al Servei d'Arqueologia el febrer de 2003). El maig de 2003 es va intervenir sobre l'àrea ampliada al 2002 (quadres K25 i K26 fundamentalment).

La campanya d'excavacions arqueològiques de 2004 va permetre ampliar el registre disponible del nivell K i recuperar un nombre de restes del nivell L suficientment significatiu com per esbossar-ne els seus principals trets. Al nivell K es va documentar una important acumulació de restes lítiques indicatives de la presència d'una zona de producció d'instruments. Per la seva banda, el nivell L no va mostrar diferències a nivell tecnològic respecte el nivell K, però el registre lític va ser quantitativament inferior. El registre faunístic del nivell K va mantenir les característiques observades en anteriors campanyes. En canvi, les restes recuperades al nivell L aportaren noves dades força rellevants. La troballa d'un molar d'hystrix pertanyent, molt probablement, a una espècie extingida durant les primeres fases del pleistocè mitjà apunta la possibilitat, de confirmar-se aquesta dada, que els nivells basals de la Cansaladeta tinguin una antiguitat sensiblement superior a l'estimada fins ara en base a la seva situació dins el sistema de terrasses al·luvials. Durant la campanya de 2004 es van agafar mostres per tal de realitzar datacions absolutes pel mètode de la Resonància Paramagnètica Electrònica (RPE).

Durant la campanya de 2005 es va continuar l'excavació dels nivells de base (I, J, i L) als quadres K25, K26, J25 i J26, i es va reprendre l'excavació del nivell D als quadres L22, L23, L24, L25, M22, M23, M24 i M25. El jaciment continuà aportant abundant registre lític en tots els nivells, disposant-se ja en molts dels nivells de conjunts numèricament representatius, i algunes restes òssies als nivells inferiors, tot i que aquestes no permeteren ampliar la llista d'espècies identificades.

Durant la campanya d'excavacions arqueològiques de 2006 es va excavar el nivell D als quadres L22, L24, M22, M23, M24, el nivell L a K26 i J26, i el nivell M als quadres K25, J25 i J26, i els nivells J i K a K26. En termes generals, la representació i característiques del registre lític recuperat a la campanya de 2006 no diferien de les observades en campanyes anteriors. A nivell del registre faunístic les restes recuperades durant la campanya del 2006 no van aportar novetats pel que fa al nombre d'espècies identificades en anteriors intervencions. La major part de les restes òssies mostren alteracions tafonòmiques que dificulten la seva identificació, tant a nivell d'espècie, com de part esquelètica, i impossibiliten en la majoria dels casos els estudis d'arqueozoologia. Durant aquesta campanya els doctors Asunción Millán i Pedro Beneitez, del Laboratorio de Datación Radioquímica de la Universidad Autónoma de Madrid van visitar el jaciment per tal de mesurar la radiació del sediment, dada necessària per tal de calibrar els resultats obtinguts per Termoluminiscència d'una mostra de sílex cremat procedent del nivell D, que actualment estan processant.

Durant els darrers anys han aparegut les primeres publicacions sobre la Cansaladeta. L'equip que intervé en el jaciment ha intentat donar a conèixer a la comunitat científica les primeres dades extretes de l'anàlisi dels materials arqueològics recuperats a la Cansaladeta. La primera publicació específica sobre aquest jaciment va aparèixer l'any 2003, a *Tribuna d'Arqueologia* (Angelucci et al. 2003). A continuació, l'any 2004, van ser publicats tres articles de síntesi (Ollé et al. 2004; Angelucci et al. 2004a, 2004b), entre els quals destaca el de la revista *Cypsela*, que posa al dia les dades més rellevants de les ocupacions antròpiques de la Cansaladeta.

Motivació i objectius 5

L'elevat potencial arqueològic del jaciment de la Cansaladeta que posà de manifest l'excavació d'urgència realitzada el 1999 portà a incloure aquest jaciment entre els d'excavació programada en el marc del projecte de recerca Evolució paleoambiental i poblament prehistòric a les conques dels rius Francolí i Gaià, que porta a terme l'Àrea de Prehistòria de la Universitat Rovira i Virgili. Els resultats de les campanyes d'excavació anuals que s'hi porten a terme des de l'any 2002 estan situant el jaciment de la Cansaladeta entre els més importants de la Península Ibèrica per l'estudi de les comunitats humanes del Plistocè mitjà.

Durant la campanya de 2007 estava previst continuar els treballs en la zona sud-est (est teòric) del jaciment, on s'ha estat excavant des de l'inici de les intervencions arqueològiques. D'una banda es pretenia continuar l'excavació del nivell D als quadres L22, L23, L24, L25, M22, M23, M24 i M25 amb l'objectiu de finalitzar-lo i deixar tota la superfície d'excavació de la part alta a sostre del nivell E. D'aquesta manera durant la campanya de 2008 es podria iniciar simultàniament l'excavació del nivell E a tots els quadres d'aquesta zona. D'altra banda estava previst intervenir i finalitzar l'excavació dels nivells L i M al quadre K26. Amb això es pretenia també deixar a la vista una secció contínua NW-SE (E-W teòric, entre les línies K i L).

Metodologia 6

La intervenció arqueològica s'ha portat a terme entre els dies 7 i 25 de maig de 2007, per part d'un equip de l'Àrea de Prehistòria de la URV, sota la direcció tècnica de Josep Maria Vergès Bosch.

La quadrícula i el punt zero utilitzats foren els mateixos que les campanyes anteriors. Durant l'excavació s'han recollit tots els materials susceptibles de formar part del registre arqueològic. Tots els elements recollits han estat coordinats tridimensionalment i disposen d'una numeració individual i consecutiva amb els de 1999, 2002, 2003, 2004, 2005 i 2006 que permet identificar-los.

Sempre que s'ha cregut convenient s'ha documentat gràficament (fotografia i dibuix) el material arqueològic i les associacions identificades in situ, i s'ha documentat fotogràficament el procés d'excavació. Així mateix, s'ha portat a terme l'aixecament topogràfic del jaciment .

La totalitat del sediment excavat ha estat recollit, anotant la seva procedència (nivell, quadre i cota), i garbellat amb aigua amb una columna de garbells amb malla de 5 mm a 1 mm per tal de recuperar les restes de petites dimensions, especialment de microvertebrats.

Estratigrafia 7

La reconstrucció de la estratigrafia de la Cansaladeta està feta a partir la descripció de seccions i perfils abans i durant els treballs d'excavació. En aquest apartat, no hi ha cap modificació respecte la informació presentada a la memòria de la campanya de 2002. Cada secció està individualitzada per la lletra X; les seccions descrites són:

X1: secció del tall amb nivells arqueològics, orientada E-W (paral·lela a la paret), aixecada el 1998

X2: secció orientada N-S (perpendicular a la paret), que talla el marge X3 perfil principal de la seqüència (jaciment-carretera)

X4: secció superior de l'excavació 1999 (quadrícules M-22, M-23, M-24, M-25)

X5: secció inferior de l'excavació 1999 (quadrícules L-23 i L-24)

Les unitats individualitzades s'indiquen amb la lletra H.

La seqüència del jaciment està organitzada en quatre conjunts principals:

1: RM rebliments del marge

2: DV dipòsits de vessant

3: CA conjunt arqueològic

1.- Conjunt RM

Aquest conjunt es relaciona amb la construcció del marge que es troba paral·lel a la paret de l'abric. Es tracta d'uns rebliments amb caràcters mixtos, d'origen antròpic, on s'ha desenvolupat un perfil de sòl AC. En la secció X2, transversal a la paret, s'han reconegut 6 unitats:

X2-H1 A Franco llimós amb pedres comunes (frr. s/ang. i s/arr. heteromètrics - mida màxima 3 cm), 7.5YR4/3, estructura granular fina moderadament desenvolupada, dèbil, matèria orgànica comuna, activitat biològica intensa, límit inf. clar.

X2-H2 bAp Franco llimós amb pedres comunes (frr. s/ang. i s/arr. heteromètrics - mida màxima 3 cm), 7.5YR4/4, estructura granular fina dèbilment desenvolupada, dèbil, matèria orgànica escassa, activitat biològica intensa, límit inf. clar.

X2-H3 -- Franco llimós arenós amb pedres freqüents (frr. s/ang. i s/arr. heteromètrics, frr. s/arr. i arr. del sediment de les unitats arqueològiques carbonatades fins 4 cm de

grandària), 7.5YR4/6, massiu, dèbil, matèria orgànica molt escassa, bioturbació intensa amb canals reblerts , límit. inf. net.

X2-H4 -- Franco llimós arenós, amb pedres comunes (frr. s/ang. i s/arr. heteromètrics, frr. s/arr. i arr. del sediment de les unitats arqueològiques carbonatades fins 4 cm de grandària, frr. ang. de calcària local amb grandària màxima de 8 cm), 7.5YR4/6, massiu, dèbil, bioturbació intensa amb canals reblerts, límit inf. clar.

X2-H5 -- Lent còncava formada per carbons, microcarbons fortament fragmentats i frr. s/arr. de calcària local ennegrits per impacte tèrmic, solta, 7.5YR3/2, límit inf. net.

X2-H6 C Caràcters com 4, límit inf. clar a la unitat 7 del conjunt DV.

Les unitats 1 i 2 són els horitzons A i AC del perfil de sòl que s'ha desenvolupat a la superfície superior del marge abans per l'activitat agrícola i ara per l'acumulació i la incorporació de matèria orgànica. La unitat 3 representa el rebliment de la part més externa del marge, relacionada amb el mur. Les unitats 4 i 6 formen el rebliment sencer del marge, que procedeix de l'erosió antròpica dels sediments tant antròpics (conjunt CA) com naturals (conjunt DV). La unitat 4 és un nivell d'incendi durant (o poc després) de la construcció del marge.

2.- Conjunt DV

El conjunt DV aflora per sobre dels conjunts CA i AL, amb els quals té un límit erosiu; s'observa a la part superior del tall principal i a la secció X2, on s'han aixecat les següents unitats:

X2-H7 2A Franco llimós arenós amb pedres comunes (com X2-H6 + petits frr. de roques cristal·lines al·lòctones meteoritzades, molt escasses), 7.5YR4/4, estructura granular fina dèbilment desenvolupada, dèbil, matèria orgànica escassa, bioturbació intensa, límit inf. clar.

X2-H8 3Bt (2C) Franco llimós arenós amb pedres comunes (frr. ang. i s/ang. heteromètrics de calcària local, grandària màxima 10 cm, OP paral·lel al límit inferior o amb lleugera inclinació vers la paret), 5YR5/6, estructura polièdrica s/ang. fina molt dèbilment desenvolupada, fort, dèbil enriquiment de CaCO₃ a la matriu i nòduls poc impregnats de CaCO₃ comuns de 2-4 mm, límit inf.

X2-H9 3Btg Bretxa formada per pedres com a H8 (però amb OP només paral·lel al límit inferior) i amb frr. de roques cristal·lines al·lòctones meteoritzades, escasses (pet-

its còdols o fragments de còdols), amb matriu franco llimosa arenosa, estructura com H8, 5YR4/6 que reomple tots els buits entre les pedres. Enriquiment de CaCO₃ com H8, nòduls molt petits (inframil·limètrics) de Fe-Mn Ox escassos. Límit inferior de difícil definició, clar.

El límit entre H6 (conjunt RM) i H7 és erosiu; H7 representa un dèbil horitzó A que després s'ha format contextualment amb aquest límit i a partir d'una roca mare amb caràcters semblants als de H8. Les unitats H8 i H9 són dipòsits de vessant (peu de mont) que procedeixen de l'erosió de materials semblants, però que s'han sedimentat amb mecanismes diferents. Els materials d'aquestes unitats estan formats principalment per fragments caiguts de la paret, amb un petit percentatge de material al·lòcton, la procedència del qual és incerta, probablement una terrassa més antiga que es trobava més amunt. La unitat H8 deriva d'una deposició per un moviment de massa, mentre que H9 representa una clapissa a la base de la paret. H9 es diposita per sobre d'un límit erosiu que talla el conjunt CA. Aquest límit no es reconeix pels processos edafogenètics que han modificat H8 i H9 després de la seva deposició. S'individuen dues fases d'edafogènesi: la primera, probablement molt antiga, està representada per la rubefacció del perfil amb formació d'un horitzó Bt; la segona, relacionada amb la superfície H6-H7, és poc desenvolupada, amb formació d'un horitzó A (H7) i enriquiment de carbonats (potser aquest últim procés és més antic que la formació de H7, aspecte que s'haurà de verificar).

3.- Conjunt CA

El conjunt arqueològic s'organitza en vàries unitats que es poden agrupar en alguns subconjunts amb diferent origen.

3a Sub-conjunt CA1

X4-H3 Bt Franc argilós amb pedres comuns (fragments pluricentimètrics de calcària amb diferents graus d'arrodoniment i en alguns casos amb pàtina de meteorització), color 5YR4/4, polièdric subangulós fi moderadament desenvolupat amb agregats molt adhesius, porositat escassa (buits plans tancats i alguns canals prop de la secció), ferm, moderadament cimentat per carbonat de calci, límit inferior clar linear.

X4-H4 Btk Com X4-H3, però amb fragments de calcària subarrodonits freqüents i nòduls centimètrics de carbonat comuns, color 5YR4/6, límit inferior clar linear.

X4-H5 Btc Com X4-H3, però argilós franc i amb concentracions molt petites de Fe-Mn disperses en la matriu, límit inferior clar linear.

X4-H6 Btk2 Com X4-H5, però amb carbonatació moderada, color 5YR4/6, límit inferior clar ondulat

X4-H7 Btk3 Com X4-H5, però amb carbonatació forta (nòduls carbonàtics pluricentimètrics amb forma subesfèrica i botrioïdal freqüents) i pedres calcàries decimètriques amb orientació subhoritzontal, color 5YR4/6, límit inferior clar linear.

X4-H8 Btk4 Com X4-H6, límit inferior clar ondulat.

X4-H9 Btc2 Com X4-H5, però amb carbonatació discreta, color 5YR4/5, límit inferior net linear.

X4-H10 Bt2 Franc argilós, color 5YR4/5, polièdric subangulòs fi feblement desenvolupat, porositat escassa, ferm, feblement cimentat per carbonat de calci, límit inferior no observat.

Aquest subconjunt està format per una potent seqüència d'origen edafogènica que ha provocat la formació d'un horitzó Bt que es pot subdividir en els horitzons anteriorment descrits. Les variacions observades es deuen a la variabilitat vertical dels processos edafogènics i a la presència de discontinuïtats sedimentològiques a la successió. Aquestes discontinuïtats es poden reconèixer per la presència de stone lines i nivells arqueològics. Concretament, el límit entre X4 H4 i H5 correspon al nivell arqueològic A, X4 H7 correspon al nivell arqueològic B mentre que el nivell arqueològic C es localitza al límit X4 H8 i H9.

Els dipòsits dels quals prové el sòl estan formats versemblantment per materials de vessant de tipus col·luvial i d'aportacions de la paret de l'abric.

El subconjunt CA1 testimonia una llarga i intensa fase d'estabilitat geomorfològica d'aquest indret, amb acció d'edafogènesi relacionada amb processos de rubefacció i translocació de carbonats, possiblement dins d'una situació ambiental de tipus mediterrani. Aquesta fase de formació de sòl tanca tota la successió de la Cansaladeta.

A la part sud de la secció X4 l'horitzó H14, amb intensa carbonatació, substitueix la seqüència H3-H10, que es troba a la part nord.

3b Sub-conjunt CA2

X5-H1 BCk Franc llimós arenós amb escasses pedres de calcària petites (màxim 4 cm.)

i anguloses, color 7.5YR6/5, massiu, ferm, discretament triat, discretament compactat, moderadament cimentat per carbonat de calci amb zones irregulars fortament cimentades, límit inferior net linear.

X5-H2 -- Stone line discontinua formada per pedres calcàries anguloses petites i peces lítiques, horitzontals.

X5-H3 BCk2 Arena (fina i molt fina, poligènica, amb grànuls principalment angulosos) llimosa amb escasses pedres de calcària petites (màxim 4 cm.) i anguloses, color 6.5YR6/5, discretament triat, fortament compactat, carbonatació com X5-H1 i límit inferior net linear.

X5-H4 -- Stone line poc continua formada per pedres calcàries anguloses fina a 10 cm. i peces lítiques horitzontals.

Es tracta d'un subconjunt de transició entre la situació principalment al·luvial de CA3 i la de vessant de CA1. L'impacte dels processos edafogènics observats en CA1 és menys fort i es desenvolupa amb una carbonatació intensa que talla en discordància les interfícies sedimentològiques i arqueològiques.

3c Sub-conjunt CA3

X5-H5 C1 Com X5-H3, però amb arena (fina i molt fina, poligènica, amb alguns elements subarrodonits) feblement llimosa, amb pedres escasses, laminacions obliqües paral·leles, de baix angle, entrecruades, amb presència de petits canals erosius que poden tallar la unitat subjacent, límit inferior net linear.

X5-H6 -- Com X5-H4.

X5-H7 C2 Com X5-H5 (inclosa la laminació), límit inferior net linear.

X5-H8 -- Stone line continua, formada per arena molt grossa i graves fines i molt fines amb grànuls subangulosos i angulosos de calcària local; les pedres tabulars i les peces lítiques es troben en posició subhoritzontal.

El subconjunt està format per dipòsits versemblantment al·luvials de baixa energia procedents d'inundacions laterals del riu Francolí, amb interrupcions periòdiques de l'activitat deposicional. Representa la unitat d'origen al·luvial més alta de la successió, i està poc afectada per l'edafogènesi.

3d Sub-conjunt CA4

X5-H9 C3 Franc llimós argilós, color 4YR4/5, polièdric angulós fi molt feblement desenvolupat, porositat escassa, poc ferm, amb intercalacions de làmines mil·limètriques de sorra fina i mitjana, paral·leles i inclinades d'angle baix, límit inferior clar linear.

Possible dipòsit d'origen col·luvial que retreballa el sòl subjacent de CA5.

3e Sub-conjunt CA5

X5-H10 2Bt Franc llimós argilós amb pedres calcàries escasses, heteromètriques (fins a 10 cm, mitjana entre 1-2 cm), anguloses, horitzontals les tabulars (hi ha gelifractes, els fragments més petits estan feblement meteoritzats i fragmentats), color 4YR4/5, polièdric angulós fi moderadament desenvolupat, porositat escassa, poc ferm, febles acumulacions petites de Fe-Mn, molt carbonatat i moderadament cimentat, límit inferior gradual.

X5-H11 2BC Franc llimós argilós amb pedres calcàries comuns, organitzades en faixes sub-horitzontals escassament visibles, anguloses i subanguloses (en hi ha també de sub-arrodonides), heteromètriques (fins a 35 cm - hi ha fragments tabulars - aparentment gelifractes, fragments caiguts de la paret amb patina endolítica i una fracció de mida mil·limètrica subarrodonida i sub-angulosa - prop del límit inferior s'observa una acumulació de fragments calcaris tabulars decimètrics); color 4YR4/5, polièdric angulós fi moderadament desenvolupat amb gradient cap a baix (al límit inferior és massiu), porositat escassa, ferm, molt carbonatat i moderadament cimentat, límit inferior abrupte amb calcària patinada (probablement el substrat).

Perfil de sòl enterrat del qual s'ha conservat l'horitzó Bt rubefactat i l'horitzó BC, que s'han desenvolupat a partir d'un material sedimentari diferent de la calcària del substrat. Els caràcters de camp del paleosòl indiquen que s'ha desenvolupat en una situació ambiental de tipus mediterrani. El material d'origen d'aquest sòl conté elements de breixa crioclàstica procedents del sostre de l'abric, que indiquen l'existència d'un clima tendencialment fred i humit.

La Cansaladeta 1999-2002
Columna estratigràfica

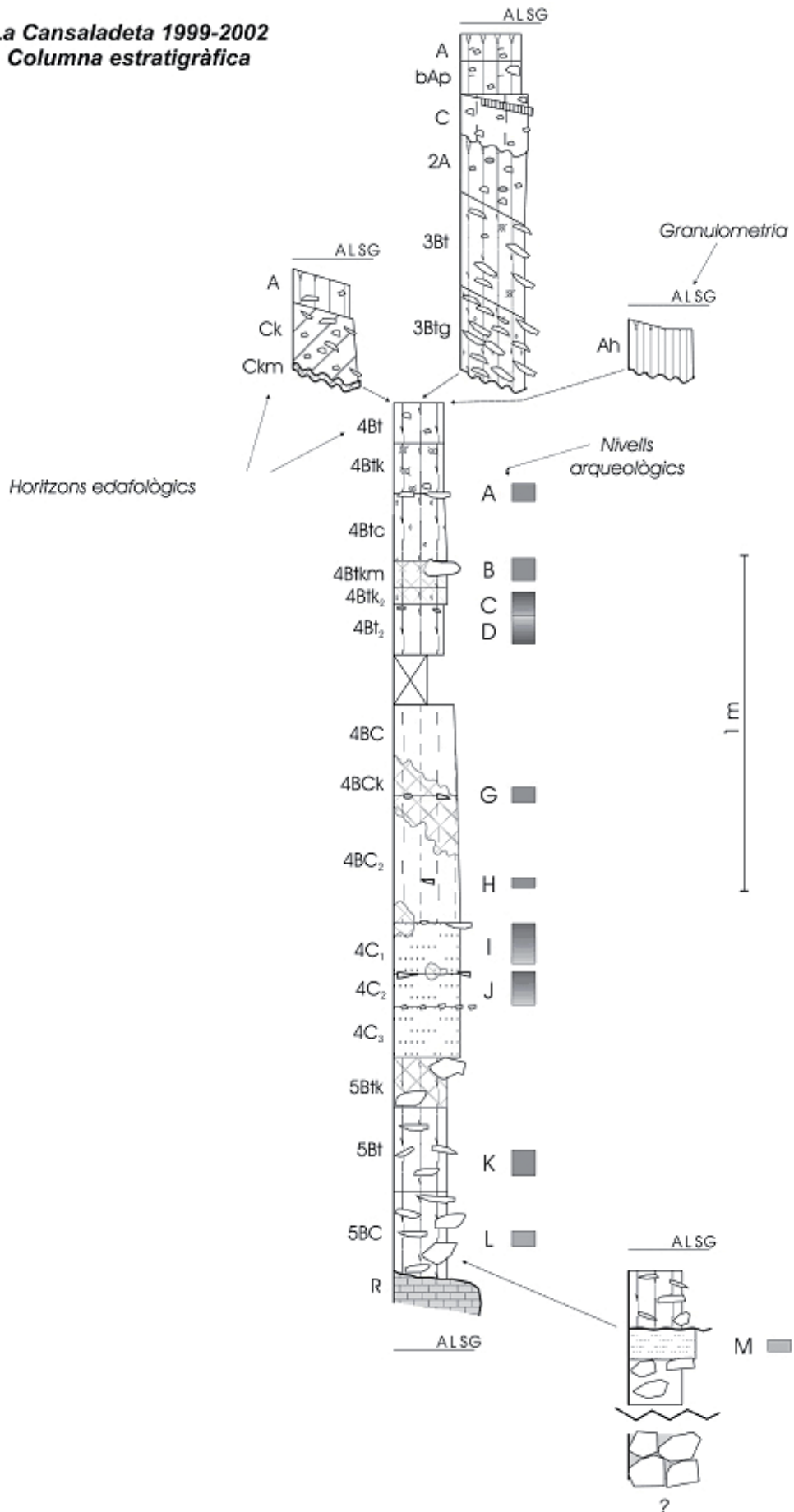


Figura 2. Columna estratigràfica de la Cansaladeta

Conclusions 8

Durant la campanya d'excavacions arqueològiques de 2007 s'ha excavat el nivell D als quadres L22, L23, L24, L25, M22, M23, M24 i M25, i els nivells L i M al quadre K26.

En termes generals, la representació i característiques del registre lític recuperat enguany no difereixen de les observades en campanyes anteriors. Tan sols assenyalar que a la base del nivell D s'han documentat un elevat nombre d'objectes de corniana i que, en general, la mida mitjana dels elements és superior a la del tram superior. S'ha d'analitzar si aquest fenomen té o no relació amb les condicions de sedimentació del dipòsit.

El fet més destacable d'aquesta campanya és la finalització de l'excavació del nivell D a la superfície del sector sud-est del jaciment objecte d'intervenció. D'aquesta manera, durant la propera campanya es podrà iniciar l'excavació del nivell E de forma simultània a tots els quadres d'aquesta zona. Així mateix, es podrà finalitzar l'estudi i portar a terme la publicació del conjunt de materials del nivell D recuperats durant els darrers anys.

A nivell del registre faunístic cal destacar l'escàs nombre de restes (7: 3 al nivell D i 4 al nivell L) recuperades durant la present campanya. Totes aquestes restes òssies són fragments de petites dimensions que mostren importants alteracions tafonòmiques, el que ha motivat que no hagin estat identificats ni a nivell d'espècie ni de part anatòmica..

Annex 1: Diari de camp **A1**

Dia 7 de maig de 2007

Excavadors: *Neetu Agarwal, Budiman, Andrés Avelino Fernández, Núria Geribàs, Sayantani Neogi, Andreu Ollé i Josep Maria Vergès.*

Després de transportar al jaciment tot el material necessari durant la campanya d'excavació es realitza una neteja general de l'indret. Es retira la manta de *Geotextil* que protegia l'excavació i es revisa la projecció de la quadrícula aèria sobre la superfície a intervenir.

Decidim concentrar-nos en acabar d'excavar el nivell D, del qual tenim la base descoberta a pràcticament tota l'àrea compresa entre els quadres L i M 22 a 25. Concretament, comencem a intervenir a M22, M23, M24, L24 i L25.

Pel que respecta al tram inferior de la successió estratigràfica, s'excava només al quadre K26, on estem a sostre del nivell L.

Tal i com hem fet en les campanyes anteriors, dediquem el matí de 8:30 a 14:30 a excavar, i a la tarda fem un primer processament del material (inventariat, neteja i siglat) al laboratori que tenim instal·lat a Alcover.



Figura 3: Inici de l'excavació de la campanya 2007 al jaciment de la Cansaladeta

Dia 8 de maig de 2007

Excavadors: *Neetu Agarwal, Budiman, Andrés Avelino Fernández, Núria Geribàs, Sayantani Neogi, Andreu Ollé i Josep Maria Vergès.*

Continuem treballant als mateixos quadres i nivells. Al nivell D s'està ja en un tram amb molta sorra, i sembla que amb menys material arqueològic (especialment a la línia L). Es decideix continuar considerant-lo nivell D, a l'espera de veure si baixa definitivament la concentració de material o si pot observar-se cap fenomen que ens permeti canviar al nivell E (inexistent fins a la data).

Al nivell L s'excava un sediment argilós amb bastants clastos calcaris, entre els que apareixen poques restes arqueològiques (de moment, només alguns objectes de sílex).

S'ha baixat l'estructura de taulons, de manera que els excavadors que treballen al tram superior ara poden fer-ho drets. S'ha instal·lat també una corda a mode de barana des del peu de la carretera fins al jaciment, per tal de facilitar l'accés.



Figura 4: Excavació del nivell D

Dies 9 i 10 de maig de 2007

Excavadors: *Neetu Agarwal, Budiman, Andrés Avelino Fernández, Núria Geribàs, Sayantani Neogi, Andreu Ollé i Josep Maria Vergès.*

Al tram superior treballem a L i M22, L i M23 i a L25. Continua apareixent força material arqueològic corresponent a la base del nivell D, que ja és completament arenós (al·luvial). L'únic quadre on sembla que ja s'ha arribat a la base de la gran concentració de material és M22.

Al tram inferior, al quadre K26, s'ha acabat d'aixecar una capa contínua de blocs (entre els qual hi havia una base natural de granit), la base de la qual es troba a una cota aproximada de 1290 cm al quadrant SW i de 1280 cm al NE. Un cop fora, ha quedat una superfície molt contínua i plana. En general, surt molt poc material arqueològic; van anar apareixent alguns objectes de sílex per damunt de l'esmentada capa, no n'ha sortit gairebé cap entre i just sota dels blocs, i ara en torna a sortir algun més una mica per sota. Tot aquest tram pertany al nivell L, però, tal i com es va observar durant la campanya anterior al quadre K25, tot sembla indicar que es podria distingir un L superior i un L inferior (fent servir la capa contínua de blocs com a separador).

S'ha instal·lat un tendal sobre l'àrea d'intervenció per tal de protegir-nos del sol.

Dia 11 de maig de 2007

Excavadors: *Neetu Agarwal, Budiman, Andrés Avelino Fernández, Núria Geribàs, Sayantani Neogi, Andreu Ollé i Josep Maria Vergès.*

Al nivell D es continua sense novetats importants. S'excava a tots els quadres de les línies L i M. Tret de L i M22, a tots segueix apareixent abundant indústria lítica.

Al quadre K26 es continua excavant i aixecant blocs calcaris del nivell L, sense gairebé cap resta arqueològica (entre les quals cal destacar algun petit fragment d'os cremat).



Figura 5: Tram inferior del nivell L al quadre K26

Dia 14 de maig de 2007

Excavadors: Neetu Agarwal, Budiman, Andrés Avelino Fernández, Núria Geribàs, Sayantani Neogi, Andreu Ollé i Josep Maria Vergès.

El mal temps no ens permet excavar. Decidim concentrar-nos en les tasques de laboratori, per tal de posar-nos al dia amb el material recuperat durant la present campanya.

Dia 15 de maig de 2007

Excavadors: Neetu Agarwal, Budiman, Andrés Avelino Fernández, Núria Geribàs, Sayantani Neogi, Andreu Ollé i Josep Maria Vergès.

Al tram superior es continua sense novetats. Segueix apareixent molta indústria lítica corresponent a la base del nivell D, sobretot als quadres L i M 23. Cal destacar que tenim a la vista un gran nombre de peces de format mitjà i gran, tant en sílex com en corniana (en aquest cas, quasi totes força alterades). Destaca una gran BN1GE (nucli) de sílex, cremada, a M23; dues BN2GC (ascles retocades) en corniana i sílex respectivament a L23; i una gran BP (ascla) de corniana molt alterada junt a un altre nucli de sílex a L25. Tot aquest material ha estat fotografiat in situ.

Al quadre K26 es continua bàsicament aixecant blocs. En el tram de zetes comprès

aproximadament entre 1290 i 1300 cm, molts d'aquests blocs són en realitat plaques. Sota d'una capa bastant contínua d'aquestes plaques comença a aparèixer una mica de material arqueològic.

Figura 6: BN1GE de sílex i gran BP de corniana, Nivell D, quadre L25



Dia 16 de maig de 2007

Excavadors: Neetu Agarwal, Budiman, Andrés Avelino Fernández, Núria Geribàs, Sayantani Neogi, Andreu Ollé i Josep Maria Vergès.

Al tram superior es continua amb la mateixa dinàmica: excavant i coordinant molta indústria lítica, especialment als quadres M23, L i M24, i M25.

Al quadre K26 s'ha acabat el nivell L. El material que semblava que començava a sortir ahir va quedar reduït a 2 objectes de sílex i 2 petits fragments d'os cremat. El canvi al nivell M es va situar a la base d'una capa molt contínua de blocs calcaris i segons les cotes en què es va fer el canvi al quadre K25. Un cop fotografiada tota la superfície del quadre K26 a sostre del nivell M, s'ha començat a excavar, sense que s'observin canvis significatius (continuen sortint molts blocs, la majoria plaques, alguns de més grans dimensions que al nivell L, i, de moment, sense restes arqueològiques).

Figura 7: BN1GE de sílex cremada, Nivell D, quadre M23



Figura 8: Sostre del nivell M al quadre K26

Dia 17 de maig de 2007

Excavadors: Neetu Agarwal, Budiman, Andrés Avelino Fernández, Núria Geribàs, Sayantani Neogi, Andreu Ollé i Josep Maria Vergès.

Al nivell D es continua sense cap canvi significatiu. A K26 s'ha baixat una talla del nivell M (aprox. Z:1300-1310 cm) i s'ha deixat a sostre d'una gran llosa plana. No ha aparegut cap resta arqueològica. En el tram que s'ha excavat del nivell M, així com a la part inferior del L, s'han observat molts fragments de calcària amb vores molt agudes i fractures molt fresques, que interpretem com a producte de fenòmens de crioclastisme.

*Figura 9: BN2GC de
quarsita i restes mal
conservades d'artefactes
de corniana. Nivell D,
quadre M24*



Dia 18 de maig de 2007

Excavadors: *Neetu Agarwal, Budiman, Andrés Avelino Fernández, Núria Geribàs, Sayantani Neogi, Andreu Ollé i Josep Maria Vergès.*

Enlloc d'excavar, hem dedicat el matí a fer un recorregut pel sistema de terrasses del tram alt del riu Francolí. Comencem a Pont de Goi i anem pujant: ens aturem a l'estret de la Riba, a la zona de Llorach i, finalment, visitem l'excavació del jaciment del Molí del Salt, a Vimbodí.

A la tarda fem laboratori.

Dies 21 a 23 de maig de 2007

Excavadors: *Lluc Benàssar, Paola García, Andreu Ollé i Josep Maria Vergès.*

Excavem només al nivell D, concentrant-nos en la zona central. Al quadre M25 aixequem la gran llosa que teníem al descobert des de la primera campanya, i excavem el tram de nivell D que continua per sota. En general, segueix apareixent abundant indústria lítica, en un sediment arenós.

Es comença a preparar l'estructura semi-fixa de protecció del jaciment (ancoratges a la paret amb tac químic, per tal de suportar les barres metàl·liques on es subjectaran les planxes de la coberta).

Figura 10: Llosa de calcària del quadre M25, que cobria nivell D



Figura 11: En alguns sectors del nivell D els objectes de sílex apareixien fracturats per la pressió del sediment

La Cansaladeta, 2007

Dies 24 i 25 de maig de 2007

Excavadors: *Paola García, Marta Fontanals, Juan Ignacio Morales, Andreu Ollé, Luna Peña i Josep Maria Vergès.*

S'acaba d'excavar per complet la base arenosa del nivell D. En aquesta base, a més de molts objectes de sílex, n'apareixen bastants de corniana de dimensions considerables (la majoria d'ells alterats).

Un cop acabat el nivell D a les línies L i M, de 22 a 25, es fan fotografies finals de tota l'àrea intervinguda durant aquesta campanya, així com algunes fotografies finals generals.

S'acollen els tres pilars que han de sustentar l'estructura metàl·lica de protecció del jaciment.



Figura 12: Treballs d'instal·lació de l'estructura metàl·lica destinada a sustentar la coberta del jaciment

Figura 13: Vista general un cop finalitzada l'excavació del nivell D



Annex 2: Inventari general **A2**

A continuació presentem l'inventari general de tot el material arqueològic coordinat durant la campanya d'excavació de 2007. La numeració dels objectes és continuació de la de la campanya de l'any 2006. En total han estat inventariats 646 ítems, la majoria dels quals són artefactes lítics.

Abreviatures:

Niv= Nivell arqueològic

Qua= Quadre

Num= Número

Material= Tipus de material arqueològic

Categoria= Categoria estructural

Zsup= Profunditat cara superior de l'element (solament si es tracta d'objectes amb gruix destacable)

Zinf= Profunditat cara inferior de l'element

Orien= Orientació de la resta arqueològica en relació amb el nord teòric de l'excavació

Pen= Pendent de la resta arqueològica respecte el nord teòric de l'excavació

Llar=Llargària

Amp= Amplada

Gr= Gruix

Bn= Base natural

BN1GE= Base Negativa de 1^a Generació d'Explotació

BN1GC= Base Negativa de 1^a Generació de Configuració

BP= Base Positiva

BPF= Base Positiva fracturada

fBP= fragment de Base Postiva

BN2GC= Base Negativa de 2^a Generació de Configuració
Fragment

Indeterminat= peça indeterminable

T. petita= Talla petita (restes faunístiques)

T. mitjana= Talla mitjana (restes faunístiques)

T. gran= Talla gran (restes faunístiques)

Niv	Qua	Núm	Material	Categoria	X	Y	Zsup	Zinf	Orien	Pen	Llarg	Amp	Gr	Observacions
D	L22	91	Calcària	Indeterminat	80	86	1138	1156	ew		200	100	50	No recuperat. Coord. aprox.
D	L22	92	Sílex	BP	77	91		1151	nesw	nw	46	34	5	
D	L22	93	Sílex	FBP	75	91		1152	nesw	se	44	30	9	
D	L22	94	Calcària	Bloc	16	86	1136	1156	ew	s	190	150	68	No recuperat
D	L22	95	Sílex	FBP	88	85		1159	nesw	p	12	8	3	
D	L22	96	Sílex	BPF	98	83		1158	ew	vh	22	13	6	
D	L22	97	Corniana	Indeterminat	97	93		1158	ns	e	41	30	20	
D	L23	163	Calcària	Bloc	3	87	1148	1159	nesw	s	150	90	80	
D	L23	164	Corniana	FBP	28	94		1159	ew	w	50	32	8	
D	L23	165	Sílex	BP	65	92		1158	nwse	vh	30	18	12	Fragmentat
D	L23	166	Sílex	FBP	18	93		1159	nwse	s	12	8	2	
D	L23	167	Sílex	BP	19	85		1163	ns	e	70	50	20	
D	L23	168	Sílex	BN2GC	29	82		1164	ew	wv	57	35	22	
D	L23	169	Sílex	BPF	34	89		1164	ns	p	24	20	10	
D	L23	170	Sílex	BP	46	84		1163	nesw	w	53	20	12	
D	L23	171	Sílex	FBP	38	95		1163	ns		8	7	1	
D	L23	172	Sílex	FBP	99	74		1158	ew	vh	8	5	1	
D	L23	173	Sílex	FBP	95	80		1157	q	p	6	4	2	
D	L23	174	Sílex	BP	95	80		1160	nesw	n	60	46	17	
D	L23	175	Sílex	Indeterminat	100	78		1160	q	ne	35	30	20	
D	L23	176	Sílex	Indeterminat	88	81		1159	ew	nw	40	24	6	
D	L23	177	Os	Fragment	88	81		1160			21	15	3	
D	L23	178	Sílex	BPF	96	87		1158	nesw	se	14	5	2	
D	L23	179	Sílex	Indeterminat	98	93		1157			9	4	1	Coord. aprox.
D	L23	180	Sílex	BP	92	98		1155	nesw	sw	17	8	4	
D	L23	181	Sílex	Indeterminat	95	94		1157			8	3	1	Coord. aprox.
D	L23	182	Sílex	FBP	96	95		1157	ns	vh	5	3	1	
D	L23	183	Sílex	BP	91	96		1157	nwse	se	8	4	2	
D	L23	184	Sílex	FBP	92	84		1160	nwse	p	21	10	4	
D	L23	185	Sílex	BN2GC	97	85		1161	q	p	60	60	15	
D	L23	186	Corniana	BP	95	94		1160	ns	n	80	60	22	
D	L23	187	Sílex	FBP	96	90		1160	ns	vh	18	8	6	
D	L23	188	Sílex	Indeterminat	95	88		1161	nwse	p	8	4	4	
D	L23	189	Sílex	BP	100	75		1159	ew	p	13	6	3	
D	L23	190	Corniana	Indeterminat	94	80		1163	q		62	60	15	
D	L23	192	Corniana	BP	96	85		1162	ew	p	25	20	5	
D	L23	193	Sílex	FBP	80	70		1163			8	5	3	Coord. aprox.
D	L23	194	Sílex	FBP	80	86		1158	ns	wv	10	5	4	
D	L23	195	Sílex	FBP	84	81		1161			7	5	3	Coord. aprox.
D	L23	196	Sílex	Indeterminat	63	92		1159			20	12	10	Mesures aprox.
D	L23	197	Sílex	FBP	73	90		1159			4	3	1	
D	L23	198	Sílex	FBP	60	84		1162			8	8	5	Coord. aprox.
D	L23	199	Sílex	Fragment	68	91		1160			8	4	4	Coord. aprox.
D	L23	200	Sílex	FBP	76	85		1160	q	p	5	4	2	
D	L23	201	Sílex	Fragment	77	89		1159	q	p	8	4	3	
D	L23	202	Sílex	FBP	41	98		1163	q	se	24	23	11	
D	L23	203	Sílex	Indeterminat	98	93		1160			4	3	2	Coord. aprox.
D	L23	204	Quarsita	BPF	97	99		1159	nesw	se	19	11	7	
D	L23	205	Corniana	Indeterminat	92	96		1161	q	ne	60	60	10	
D	L23	206	Sílex	BP	77	97		1157	q	n	11	10	3	
D	L23	207	Sílex	FBP	78	92		1157	nesw	ne	8	4	1	
D	L23	208	Sílex	BP	84	98		1161	nesw	sw	8	5	1	

Niv	Qua	Núm	Material	Categoria	X	Y	Zsup	Zinf	Orien	Pen	Llarg	Amp	Gr	Observacions
D	L23	209	Sílex	Fragment	76	67		1164			9	5	3	
D	L23	210	Sílex	FBP	74	67		1164	ns	p	10	4	2	
D	L23	211	Sílex	BP	88	90		1164	nesw	ne	40	35	15	
D	L23	212	Sílex	FBP	82	75		1165	nwse	n	28	18	5	
D	L23	213	Sílex	FBP	95	81		1165	ew	vh	36	18	4	
D	L23	214	Sílex	BPF	68	98		1160	ns	wv	15	8	3	
D	L23	215	Sílex	BP	93	90		1164	ew	wv	30	25	15	
D	L23	216	Corniana	Indeterminat	97	93		1162	nesw	p	75	65	35	
D	L23	217	Sílex	BP	88	99		1165	ew	vh	50	43	13	
D	L23	218	Sílex	BP	67	93		1161			9	5	2	
D	L23	219	Sílex	FBP	70	98		1161			17	7	2	
D	L23	220	Sílex	FBP	75	99		1161	nesw	vh	30	17	10	
D	L23	221	Sílex	BPF	51	98		1162	ew	vh	11	8	2	
D	L23	222	Sílex	BP	55	95		1162	ew	p	59	21	15	
D	L24	374	Quars	BPF	70	98		1156	ew	p	20	10	7	
D	L24	375	Sílex	FBP	75	87		1156	nwse	se	20	10	3	
D	L24	376	Sílex	FBP	70	60		1156	ew	p	15	7	3	
D	L24	377	Sílex	FBP	70	97		1157	ns	n	20	15	10	
D	L24	378	Sílex	FBP	45	96		1160	q	p	12	10	5	
D	L24	379	Sílex	FBP	40	78		1160	nwse	p	10	7	5	
D	L24	380	Sílex	FBP	5	90		1157	q	p	10	10	3	
D	L24	381	Corniana	BPF	8	98		1156	ew	p	30	15	5	
D	L24	382	Sílex	BP	78	95		1157	ew	ne	45	35	10	
D	L24	383	Sílex	Fragment	40	63		1159			25	20	7	
D	L24	384	Sílex	BP	10	77		1157	ew	p	15	7	3	
D	L24	385	Corniana	Indeterminat	14	80		1160			50	40	40	Fragmentat
D	L24	386	Sílex	FBP	10	80		1161		vh	35	25	15	
D	L24	387	Sílex	BP	18	90		1161	ew	p	35	20	10	
D	L24	388	Sílex	BN1GE	20	80		1161	nesw	nw	60	40	35	
D	L24	389	Corniana	Indeterminat	18	87		1162	nwse	nw	40	30	25	
D	L24	390	Sílex	BP	26	95		1163	ns	nw	90	75	30	
D	L24	391	Sílex	BP	27	98		1161	q	p	15	10	5	
D	L24	392	Os	Fragment	30	95		1159			7	2	2	Coord. aprox.
D	L24	393	Quarsita	Bn	35	90		1162	ns	p	20	10	7	Natural
D	L24	394	Corniana	Indeterminat	40	92		1161			30	20	20	
D	L24	395	Sílex	FBP	25	80		1163	ew	e	10	5	3	
D	L24	396	Quars	FBP	48	94		1160			6	3	1	Coord. aprox.
D	L24	397	Sílex	FBP	59	86		1159			5	3	2	Coord. aprox.
D	L24	398	Sílex	FBP	4	87		1163	nesw	ne	14	8	6	
D	L24	399	Sílex	BP	59	90		1160	ew	w	9	5	2	
D	L24	400	Sílex	Indeterminat	45	75		1161	ns		10	5	2	Mesures aprox.
D	L24	401	Sílex	FBP	46	76		1161	ew	w	5	4	2	
D	L24	402	Sílex	BP	47	72		1161			4	2	1	
D	L24	403	Sílex	FBP	48	69		1161			6	3	1	Coord. aprox.
D	L24	404	Corniana	Indeterminat	3	87		1164	ns	vh	15	11	4	
D	L24	405	Sílex	BPF	99	95		1154	nwse	wv	12	12	2	
D	L24	406	Sílex	BP	52	86		1162			5	3	2	
D	L24	407	Sílex	FBP	60	88		1160	q	nw	5	5	1	
D	L24	408	Sílex	FBP	40	92		1163	q	s	6	5	2	
D	L24	409	Quarsita	FBP	15	87		1165	ew	vh	34	24	15	
D	L24	410	Sílex	Fragment	42	92		1163	nwse	p	12	7	5	
D	L24	411	Corniana	Indeterminat	16	88		1166	nwse	vh	51	22	15	
D	L24	412	Quars	FBP	91	53		1154	ns	n	20	15	6	

Niv	Qua	Núm	Material	Categoria	X	Y	Zsup	Zinf	Orien	Pen	Llarg	Amp	Gr	Observacions
D	L24	413	Sílex	BP	80	51		1157	ns	w	40	25	8	
D	L24	414	Sílex	BP	72	95		1160			18	12	3	
D	L24	415	Sílex	BP	95	81		1156	q	w	27	25	4	
D	L24	416	Sílex	BPF	60	94		1163	ew	ne	17	10	3	
D	L24	417	Corniana	Indeterminat	47	96		1162	ns	p	40	28	10	
D	L24	418	Sílex	BN2GC	50	94	1161	1167	ns	w	60	50	16	
D	L24	419	Sílex	BPF	56	93		1166	nesw	w	80	50	20	
D	L24	420	Sílex	FBP	72	98		1160	ns	p	15	11	2	
D	L24	421	Corniana	Indeterminat	4	96		1164	nwse	p	60	50	20	
D	L24	422	Corniana	Indeterminat	30	86		1165	ns	nw	60	45	7	
D	L24	423	Sílex	BP	36	91		1166	nwse	sw	25	14	7	
D	L25	398	Sílex	FBP	37	83		1146	nwse	p	13	9	4	
D	L25	399	Sílex	BP	44	83		1147	q	p	17	15	7	
D	L25	400	Sílex	BP	60	70		1144			11	6	4	
D	L25	401	Sílex	BP	68	68		1146			4	2	1	
D	L25	402	Sílex	BP	55	61		1147	nesw	p	28	19	7	
D	L25	403	Sílex	FBP	60	58		1146	nwse	se	27	15	7	
D	L25	404	Sílex	BP	63	43		1147	ew	p	12	7	2	
D	L25	405	Sílex	BP	3	83		1151			4	4	1	
D	L25	406	Sílex	FBP	8	81		1151	ew	p	20	9	3	Fragmentat
D	L25	407	Sílex	BP	14	82		1150			15	10	5	Coord. aprox.
D	L25	408	Sílex	Fragment	20	82		1149			8	7	3	Coord. aprox.
D	L25	409	Sílex	FBP	27	82		1149			11	6	2	Coord. aprox.
D	L25	410	Sílex	FBP	24	77		1149	ew	e	17	6	5	
D	L25	411	Sílex	FBP	40	64		1147			12	7	4	
D	L25	412	Sílex	BP	21	54		1151			5	4	1	
D	L25	413	Sílex	FBP	9	83		1151			14	7	4	
D	L25	414	Sílex	FBP	12	87		1154			6	4	1	
D	L25	415	Sílex	BP	12	81		1150	nesw	nw	21	15	2	
D	L25	416	Sílex	Fragment	27	76		1148			3	2	1	
D	L25	417	Quars	Fragment	33	87		1147	nwse	p	10	7	5	
D	L25	418	Sílex	FBP	60	72		1148			11	10	2	Coord. aprox.
D	L25	419	Sílex	Fragment	66	71		1147			16	11	10	
D	L25	420	Sílex	BP	66	75		1146	nwse	sw	23	18	4	
D	L25	421	Sílex	BP	65	86		1145	nwse	nw	29	15	9	
D	L25	422	Sílex	Indeterminat	42	70		1149			9	6	5	Fragmentat
D	L25	423	Quars	Fragment	62	69		1148	ns	n	17	12	7	
D	L25	424	Sílex	BPF	65	75		1148	nesw	p	23	20	7	
D	L25	425	Sílex	Fragment	83	75		1145			7	6	2	Coord. aprox.
D	L25	426	Sílex	FBP	72	40		1148			10	10	3	Coord. aprox.
D	L25	427	Sílex	FBP	83	30		1149			21	13	10	Coord. aprox.
D	L25	428	Sílex	FBP	42	75		1149	ns	e	27	17	6	
D	L25	429	Sílex	BP	56	74		1149			9	5	4	Coord. aprox.
D	L25	430	Sílex	Fragment	59	66		1148			4	3	1	Fragmentat
D	L25	431	Sílex	BP	56	60		1151	ns	p	31	22	3	
D	L25	432	Sílex	BP	25	72		1151	nwse	nw	52	29	15	
D	L25	433	Sílex	Fragment	18	67		1153			5	3	1	Coord. aprox. Fragmentat
D	L25	434	Sílex	Fragment	12	72		1152			15	12	5	Coord. aprox.
D	L25	435	Sílex	BP	20	82		1150	nwse	vh	10	8	2	
D	L25	436	Sílex	BN2GC	33	75		1152	ns	s	45	32	25	
D	L25	437	Sílex	FBP	40	67		1152			6	6	1	Coord. aprox.
D	L25	438	Sílex	BP	50	73		1151			8	6	1	Coord. aprox.

Niv	Qua	Núm	Material	Categoria	X	Y	Zsup	Zinf	Orien	Pen	Llarg	Amp	Gr	Observacions
D	L25	439	Sílex	BP	15	78		1151			6	4	1	Coord. aprox.
D	L25	440	Sílex	BP	22	76		1152	ew	wv	24	22	8	
D	L25	441	Sílex	FBP	24	79		1151	ns	p	21	18	7	
D	L25	442	Quars	Fragment	9	87		1152	nwse	se	14	11	10	
D	L25	443	Sílex	BP	13	85		1151	ew	wv	15	10	1	Fragmentat
D	L25	444	Sílex	Fragment	23	85		1151			12	8	6	Coord. aprox.
D	L25	445	Sílex	FBP	42	80		1148	nwse	vh	20	12	3	
D	L25	446	Sílex	BP	2	85		1153			8	4	1	No recuperat. Coord. aprox.
D	L25	447	Sílex	BP	13	91		1152	q	s	17	16	6	
D	L25	448	Sílex	BP	17	81		1153			11	7	3	
D	L25	449	Sílex	Fragment	20	84		1152			6	5	4	Coord. aprox.
D	L25	450	Sílex	FBP	25	84		1153			8	6	2	Coord. aprox.
D	L25	451	Quars	BP	10	91		1152	ew	w	28	20	11	
D	L25	452	Sílex	BP	5	86		1154	ns	p	16	9	4	
D	L25	453	Sílex	BP	15	93		1153	ns	n	29	19	5	
D	L25	454	Sílex	BP	35	84		1150			18	11	3	Coord. aprox. Fragmentat
D	L25	455	Sílex	BP	38	84		1150			10	8	2	Coord. aprox.
D	L25	456	Os	Fragment	45	80		1151			17	5	2	Coord. aprox. Cremat
D	L25	457	Sílex	BP	50	82		1148	ns	n	47	23	17	
D	L25	458	Sílex	BP	64	80		1148	nwse	se	17	13	3	
D	L25	459	Sílex	BN1GE	60	9	1148	1151	nwse	ne	80	67	50	
D	L25	460	Sílex	Fragment	80	54		1148	nesw	ne	17	13	5	Fragmentat
D	L25	461	Corniana	Indeterminat	84	80		1145	ew		30	15	15	No recuperat. Mesures aprox.
D	L25	462	Sílex	BP	92	73		1145	nesw	p	63	43	18	
D	L25	463	Quarsita	FBP	76	82		1144			15	9	5	
D	L25	464	Sílex	BP	80	80		1148	ns	p	15	11	5	
D	L25	465	Corniana	BP	75	80		1147	nesw		130	100	40	
D	L25	466	Sílex	Fragment	40	83		1151			11	10	6	
D	L25	467	Sílex	BP	60	61		1152	nwse	ne	11	8	2	
D	L25	468	Sílex	FBP	72	78		1148	ew	p	14	12	5	
D	L25	469	Sílex	FBP	67	87		1148	ew	vh	50	17	9	
D	L25	470	Sílex	BP	44	87		1149			10	9	2	
D	L25	471	Corniana	BP	79	85		1147	ew	se	95	63	25	
D	L25	472	Sílex	BPF	83	85		1147			7	6	1	No conservada
D	L25	473	Sílex	BP	52	86		1151	nesw	sw	36	23	15	
D	L25	474	Sílex	BP	4	66		1154			14	11	1	Coord. aprox.
D	L25	475	Sílex	BP	16	96		1153	nwse	p	8	7	2	
D	L25	476	Sílex	BP	23	96		1153	ns	p	40	29	12	
D	L25	477	Sílex	FBP	19	98		1154	ns	p	66	49	16	
D	L25	478	Sílex	Fragment	9	99		1152			9	7	4	Coord. aprox.
D	L25	479	Sílex	FBP	33	99		1153	ns	s	11	7	3	
D	L25	480	Sílex	BP	19	96		1155	nwse	p	53	28	15	
D	L25	481	Sílex	Indeterminat	47	99		1145	nwse	sw	15	10	3	Mesures aprox.
D	L25	482	Sílex	BP	56	99		1144	nesw	s	19	8	4	
D	L25	483	Corniana	BPF	67	100		1143	nwse	p	15	13	4	
D	L25	484	Sílex	BP	86	98		1139	ew	nw	38	10	7	
D	L25	485	Sílex	BP	61	93		1147	ns	n	18	7	3	
D	L25	486	Sílex	BPF	66	93		1146	nesw	sw	26	23	7	
D	L25	487	Sílex	FBP	69	94		1144	nesw	sw	25	8	3	
D	L25	488	Sílex	FBP	69	92		1147		p	10	5	3	

Niv	Qua	Núm	Material	Categoria	X	Y	Zsup	Zinf	Orien	Pen	Llarg	Amp	Gr	Observacions
D	L25	489	Sílex	BPF	72	93		1146		p	9	8	2	
D	L25	490	Sílex	BPF	75	94		1146	q	e	7	6	2	
D	L25	491	Sílex	BP	80	93		1146	ns	s	13	10	4	
D	L25	493	Sílex	FBP	48	90		1151		p	10	5	2	
D	L25	494	Sílex	BP	72	91		1145	ew	s	50	30	15	
D	L25	495	Corniana	Indeterminat	73	96		1147	ew	w	45	40	8	
D	L25	496	Sílex	BPF	55	99		1149	nwse	vh	30	25	7	
D	L25	497	Sílex	BPF	62	100		1143	nwse	s	45	15	10	
D	L25	498	Sílex	BN2GC	68	99		1150	nwse	vv	30	27	12	Fragment retocat
D	L25	499	Sílex	FBP	65	98		1150	ew	s	18	10	5	
D	M22	474	Sílex	BPF	73	41		1153	q	p	9	8	2	
D	M22	475	Sílex	Indeterminat	80	54		1133	ew	s	32	20	4	Perfilat secció
D	M22	476	Sílex	BP	89	54		1138	ns	p	35	28	4	Perfilat secció
D	M22	477	Sílex	BPF	51	18		1156	q	p	22	21	4	
D	M22	478	Calcària	Bloc	20	21	1152	1155	ew	p	110	55	28	
D	M22	479	Quars	FBP	32	5		1155	nwse	p	32	29	12	
D	M22	480	Sílex	FBP	4	35		1138	nwse	n	30	20	15	Perfilat secció
D	M23	597	Sílex	BP	10	27		1149	q	p	19	15	7	
D	M23	598	Sílex	FBP	8	36		1148	ew	w	11	6	2	
D	M23	599	Sílex	FBP	21	37		1148	q	se	15	11	2	Fragmentat
D	M23	600	Sílex	Indeterminat	95	2		1152						No recuperat
D	M23	601	Sílex	BP	88	14		1151	nwse	se	22	16	4	
D	M23	602	Quars	Fragment	95	2		1156		p	22	21	5	Fragmentat
D	M23	603	Sílex	Fragment	91	20		1151	q	p	20	15	11	
D	M23	604	Sílex	BP	70	21		1151	q	p	30	22	4	
D	M23	605	Sílex	FBP	56	38		1151	ew	vv	18	6	1	
D	M23	606	Sílex	FBP	82	22		1152	q	p	18	13	5	Fragmentat
D	M23	607	Sílex	BP	37	4		1155	nesw	p	32	15	8	
D	M23	608	Sílex	BP	24	7		1155	q	p	23	16	5	
D	M23	609	Sílex	BP	38	1		1155	nwse	p	24	14	7	
D	M23	610	Sílex	BPF	23	14		1155	ns	n	45	20	15	
D	M23	611	Sílex	Fragment	95	2		1154	q	p	20	15	10	
D	M23	612	Sílex	BPF	17	35		1153	nwse	p	43	26	14	
D	M23	613	Sílex	FBP	94	6		1153	q	p	12	12	4	
D	M23	614	Corniana	Indeterminat	26	32		1152	ew	p	60	30	15	
D	M23	615	Sílex	BP	99	3		1155	ns	p	28	18	7	
D	M23	616	Sílex	FBP	85	5		1154	q	w	15	13	3	
D	M23	617	Sílex	FBP	90	12		1154	nwse	nw	35	17	8	
D	M23	618	Sílex	BP	95	26		1154	q	p	12	9	3	
D	M23	619	Sílex	Indeterminat	96	6		1155	ns	p	20	18	8	Fragmentat. Mesures aprox.
D	M23	620	Sílex	Fragment	92	4		1156	ns	p	10	5	4	
D	M23	621	Sílex	FBP	15	43		1150	q	p	15	11	4	
D	M23	622	Sílex	Fragment	30	39		1151	ew	s	27	15	6	
D	M23	623	Sílex	BP	40	32		1153	ew	p	17	10	3	
D	M23	624	Calcària	Bloc	2	5	1142	1158	nesw	e	260	150	130	
D	M23	625	Sílex	BP	79	22		1153	nwse	se	50	36	20	
D	M23	626	Sílex	FBP	92	1		1154	q	p	11	9	2	
D	M23	627	Quarsita	BP	87	21		1153	nesw	nw	60	36	18	
D	M23	628	Corniana	Fragment	16	10		1155	ew	e	53	30	8	
D	M23	629	Sílex	FBP	90	8		1157	nwse	vv	13	12	3	
D	M23	630	Sílex	BP	86	10		1156	nesw	ne	13	8	6	
D	M23	631	Corniana	Fragment	17	4		1154	ew	w	25	15	5	

Niv	Qua	Núm	Material	Categoria	X	Y	Zsup	Zinf	Orien	Pen	Llarg	Amp	Gr	Observacions
D	M23	632	Corniana	BP	20	19		1159	nesw	sw	52	32	10	
D	M23	633	Sílex	BP	17	10		1159	ew	p	30	17	10	
D	M23	634	Sílex	BP	76	2		1155	nesw	sw	8	5	1	
D	M23	635	Sílex	BP	73	2		1156	ew	p	7	4	2	
D	M23	636	Sílex	FBP	1	23		1153			30	18	4	Mesures aprox.
D	M23	637	Sílex	FBP	87	19		1157	ns	s	34	27	12	
D	M23	638	Sílex	BP	1	32		1153	ns	vh	52	23	18	
D	M23	639	Sílex	BP	41	29		1154	q	sw	39	37	6	
D	M23	640	Sílex	FBP	87	26		1155	nwse	se	15	10	4	
D	M23	641	Sílex	Indeterminat	82	23		1153						No recuperat
D	M23	642	Sílex	BN2GC	79	20		1154	ew	e	40	21	11	
D	M23	643	Sílex	Fragment	88	27		1155	q	p	8	6	2	Fragmentat
D	M23	644	Sílex	Fragment	76	24		1154	q	vh	8	6	3	
D	M23	645	Sílex	BN1GE	2	26		1155	q	se	50	48	27	
D	M23	646	Sílex	FBP	1	47		1150	ew	w	31	20	19	
D	M23	647	Sílex	Fragment	81	18		1157	ew	vh	25	16	6	
D	M23	648	Sílex	FBP	80	26		1155	ns	vw	8	4	2	
D	M23	649	Sílex	Fragment	43	5		1151			7	3	2	
D	M23	650	Sílex	BP	74	32		1152	nwse	se	20	15	3	
D	M23	651	Sílex	BPF	74	32		1153	nwse	se	21	15	4	
D	M23	652	Sílex	Fragment	17	23		1156						Fragmentat
D	M23	653	Sílex	Fragment	20	33		1153			8	4	3	
D	M23	654	Sílex	BP	66	31		1153	ew	p	40	27	8	
D	M23	655	Sílex	BP	70	37		1152	q	p	10	10	3	
D	M23	656	Sílex	Indeterminat	68	37		1154	q	p	8	6	2	No recuperat. Mesures aprox.
D	M23	657	Sílex	Indeterminat	8	22		1156	q	s	16	12	5	
D	M23	658	Sílex	Fragment	10	25		1156		p	4	3	2	
D	M23	659	Sílex	FBP	3	30		1156	nesw	p	15	6	4	
D	M23	660	Sílex	FBP	1	32		1156	q	p	7	6	4	
D	M23	661	Quarsita	BPF	63	21		1152	q	p	9	7	2	
D	M23	662	Sílex	BPF	68	20		1156	nwse	vh	16	10	5	
D	M23	663	Corniana	Fragment	20	11		1156	nesw	p	25	15	10	
D	M23	664	Sílex	BP	84	9		1157			4	2	1	
D	M23	665	Sílex	BP	89	5		1157	q	p	4	3	1	
D	M23	666	Sílex	BP	88	12		1157	q	p	11	7	3	
D	M23	667	Sílex	BP	91	50		1156			5	3	1	
D	M23	668	Sílex	BN2GC	90	8		1158	ns	vw	52	36	6	
D	M23	669	Sílex	Fragment	7	19		1158			20	15	8	
D	M23	670	Sílex	Fragment	27	18		1159	nesw	ne	30	6	1	Mesures aprox.
D	M23	671	Sílex	FBP	28	30		1155	q	p	5	4	1	
D	M23	672	Corniana	Indeterminat	22	18	1155	1161	q	p	90	70	10	Mesures aprox. Fragmentat
D	M23	673	Sílex	Indeterminat	37	12		1156	ns	s	11	6	3	
D	M23	674	Sílex	BP	35	38		1151	ns	p	14	7	4	
D	M23	675	Sílex	FBP	52	30		1153			12	10	5	Coord. aprox.
D	M23	676	Corniana	Indeterminat	34	4		1158	nesw	sw	24	14	8	
D	M23	677	Sílex	Indeterminat	32	13		1159			7	5	4	Coord. aprox.
D	M23	678	Sílex	BP	43	20		1157	q	s	12	7	3	
D	M23	679	Sílex	Indeterminat	51	10		1155						Fragmentat
D	M23	680	Sílex	FBP	44	9		1154	nesw	vh	17	10	4	
D	M23	681	Sílex	FBP	37	6		1159	q	s	13	12	3	
D	M23	682	Sílex	FBP	42	13		1154	nesw	p	17	5	3	
D	M23	683	Sílex	BN1GE	41	7		1158	ew	p	55	30	22	

Niv	Qua	Núm	Material	Categoria	X	Y	Zsup	Zinf	Orien	Pen	Llarg	Amp	Gr	Observacions
D	M23	684	Sílex	BP	45	6		1159	q		40	25	20	Mesures aprox.
D	M23	685	Sílex	BPF	97	92		1158	nwse	nw	9	7	2	
D	M23	686	Corniana	Indeterminat	39	5		1160	q	p	34	29	9	
D	M23	687	Sílex	Fragment	51	5		1159	q	p	5	4	3	
D	M23	688	Sílex	Indeterminat	49	7		1159	q	p	6	5	3	
D	M23	689	Corniana	Indeterminat	2	4		1160	ew		30	15	4	No recuperat. Mesures aprox.
D	M23	690	Sílex	Indeterminat	43	14		1158	q	se	15	12	5	
D	M23	691	Sílex	BP	95	94		1158			7	5	1	
D	M23	692	Sílex	FBP	50	14		1157			8	6	1	Coord. aprox.
D	M23	693	Corniana	FBP	44	18		1159			26	15	3	Coord. aprox.
D	M23	694	Sílex	BP	49	22		1154	ns	s	40	30	8	
D	M23	695	Sílex	FBP	46	19		1157	ns	w	11	7	3	
D	M23	696	Sílex	BN1GE	44	15	1157	1161	nesw	sw	80	39	32	Cremat. Fragmentat
D	M23	697	Sílex	FBP	4	5		1161	ew	p	42	34	22	
D	M23	698	Sílex	BP	14	2		1160	ns	p	9	4	1	
D	M23	699	Sílex	BP	16	3		1160	q	p	25	22	3	Fragmentat
D	M23	700	Sílex	BP	16	6		1162	ns	p	19	11	4	
D	M23	701	Sílex	BP	18	3		1161	ns	s	40	30	10	Fragmentat
D	M23	702	Sílex	BP	46	13		1161	ns	p	34	20	10	
D	M23	703	Sílex	Fragment	16	3		1162			9	6	2	Coord. aprox.
D	M23	704	Sílex	FBP	25	5		1162	q	p	22	15	10	
D	M23	705	Sílex	Indeterminat	38	33		1156	ns	w	15	9	4	
D	M23	706	Corniana	Indeterminat	40	25	1154	1158	ew	p	90	70	35	
D	M23	707	Sílex	FBP	74	32		1155	q	p	14	8	2	
D	M23	708	Sílex	BP	67	4		1155	ew	p	49	48	10	
D	M23	709	Sílex	FBP	98	87		1158	ew	p	8	4	3	
D	M23	710	Sílex	BP	12	5		1161			3	2	1	Coord. aprox.
D	M23	711	Sílex	Fragment	44	20		1158			10	6	4	Coord. aprox.
D	M23	712	Quarsita	BP	62	25		1156	ns	p	41	20	9	
D	M23	713	Corniana	Indeterminat	60	13		1155			30	20	10	Mesures aprox.
D	M23	714	Sílex	FBP	59	20		1155	ns	vh	19	11	5	
D	M23	715	Sílex	BPF	57	23		1157	q	p	12	6	3	
D	M23	716	Sílex	Fragment	58	28		1154			10	7	2	Coord. aprox.
D	M23	717	Quars	FBP	63	25		1157	ns	p	18	15	4	
D	M23	718	Sílex	FBP	60	38		1153			10	8	2	Coord. aprox.
D	M23	719	Sílex	Indeterminat	54	48		1150			6	2	1	
D	M23	720	Sílex	FBP	39	16		1160	ew	p	15	10	6	
D	M23	721	Sílex	Fragment	35	21		1159	q	s	18	18	1	
D	M23	722	Sílex	Indeterminat	32	19		1160	nesw	ne	30	25	7	Mesures aprox.
D	M23	723	Corniana	Indeterminat	44	44	1150	1152	q	p	170	130	20	No recuperat. Mesures aprox.
D	M23	724	Sílex	Fragment	43	41		1151			8	8	2	Coord. aprox.
D	M23	725	Sílex	FBP	40	42		1153	nwse	p	10	4	2	
D	M23	726	Sílex	FBP	53	18		1159	q	p	6	4	2	
D	M23	727	Sílex	Indeterminat	67	12		1158	ew	s	17	8	4	
D	M23	728	Sílex	Fragment	64	6		1157	q	p	2	2	1	
D	M23	729	Sílex	FBP	71	4		1158			1	1	1	
D	M23	730	Sílex	FBP	72	2		1158	q	p	6	4	1	
D	M23	731	Sílex	BP	71	6		1159	q	nw	9	6	2	
D	M23	732	Sílex	FBP	74	3		1158	ns	p	17	6	6	Fragmentat
D	M23	733	Sílex	FBP	79	1		1158	q	p	6	5	2	
D	M23	734	Sílex	FBP	84	15		1157	ns	s	18	6	4	
D	M23	735	Sílex	FBP	75	4		1159			6	5	1	

Niv	Qua	Núm	Material	Categoria	X	Y	Zsup	Zinf	Orien	Pen	Llarg	Amp	Gr	Observacions
D	M23	736	Sílex	BP	70	17		1158	ns	vh	16	4	3	
D	M23	737	Sílex	FBP	66	37		1154			12	4	3	
D	M23	738	Quars	FBP	57	18		1159			10	4	1	
D	M23	739	Sílex	BP	68	23		1158	nesw	p	80	60	14	
D	M23	740	Corniana	BP	87	6		1162	ns	e	120	67	17	
D	M23	741	Calcària	Bloc	97	41	1145	1152	ns	s	140	90	65	
D	M23	742	Sílex	BP	79	45		1151	ew	p	22	9	3	
D	M23	743	Sílex	BPF	68	44		1151	ns	s	85	42	16	
D	M23	744	Corniana	Fragment	60	15		1159	ew	p	70	25	15	
D	M23	745	Quars	Fragment	70	25		1160	nwse	nw	32	19	17	
D	M23	746	Sílex	BP	65	12		1161	nwse	vh	31	19	12	
D	M23	747	Sílex	BP	60	17		1161			15	13	4	
D	M23	748	Sílex	BP	94	9		1160			14	10	2	
D	M23	749	Sílex	BP	94	13		1160	ns	s	19	9	4	
D	M23	750	Sílex	BP	88	45		1156	ns	wv	39	14	7	
D	M23	751	Sílex	FBP	74	30		1158			9	4	3	
D	M23	752	Sílex	BP	67	37		1157	nwse	sw	15	14	6	
D	M23	753	Sílex	BP	52	38		1160	ew	w	35	19	15	
D	M23	754	Sílex	BN2GC	83	7		1162	ew	se	55	35	15	
D	M23	755	Sílex	BP	76	9		1164	ew	vh	35	32	12	
D	M23	756	Sílex	FBP	80	10		1163	ns	sw	60	35	22	
D	M23	757	Corniana	Indeterminat	95	28		1158	nesw	p	70	40	20	
D	M23	758	Sílex	BP	97	14		1165	ew	se	75	40	22	
D	M23	759	Sílex	BP	92	41		1158	nwse	wv	24	14	3	
D	M23	760	Sílex	FBP	60	9		1162			8	6	2	
D	M23	761	Sílex	BPF	58	4		1163	nwse	sw	19	15	7	
D	M23	762	Sílex	BPF	24	23		1160	ew	vh	19	15	6	
D	M23	763	Sílex	BP	66	37		1159	ew	wv	6	5	1	
D	M24	484	Calcària	Bloc	90	0	1148	1151	nwse	p	200	100	30	
D	M24	485	Quars	BP	67	22		1153		sw	23	21	7	
D	M24	486	Sílex	FBP	42	14		1153	nwse	se	15	10	5	
D	M24	487	Sílex	BN2GC	13	35	1149	1151	nesw	se	65	50	15	
D	M24	488	Sílex	FBP	87	2		1153	ns	n	15	10	5	
D	M24	489	Sílex	BP	74	30		1152	ns	p	10	5	2	
D	M24	490	Sílex	BP	77	16		1154	q	p	15	12	3	
D	M24	491	Sílex	BP	8	40		1151	nesw	p	50	20	15	
D	M24	492	Sílex	BP	83	4		1155	nwse	n	50	40	20	
D	M24	493	Sílex	BP	80	42		1150	nwse	p	20	10	5	
D	M24	494	Quarsita	FBP	78	30		1152	ew	p	20	13	7	
D	M24	495	Sílex	BPF	60	42		1151	q	p	35	30	15	
D	M24	496	Sílex	FBP	79	46		1149	ew	p	20	10	7	
D	M24	497	Sílex	BP	13	12		1157	q	ne	26	25	5	
D	M24	498	Sílex	BPF	50	17		1157	q	p	10	8	3	
D	M24	499	Quars	FBP	80	10		1155	nwse	p	25	15	6	
D	M24	500	Sílex	FBP	56	4		1157	ew	p	30	15	7	
D	M24	501	Sílex	FBP	12	20		1158	nesw	se	35	30	16	
D	M24	502	Sílex	Fragment	17	40		1153	ew	v	40	30	20	
D	M24	503	Quarsita	Fragment	20	24		1157	nwse	p	20	15	10	
D	M24	504	Sílex	BN1GE	42	0	1158	1162	q	p	60	40	40	
D	M24	505	Sílex	BP	55	9		1158	nwse	p	40	30	7	
D	M24	506	Sílex	FBP	84	12		1155	ns	s	30	20	15	
D	M24	507	Sílex	FBP	90	10		1153	ns	p	25	15	5	
D	M24	508	Sílex	FBP	90	17		1153	ns	p	15	10	3	

Niv	Qua	Núm	Material	Categoria	X	Y	Zsup	Zinf	Orien	Pen	Llarg	Amp	Gr	Observacions
D	M24	509	Sílex	FBP	70	10		1157	nesw	nw	30	20	10	
D	M24	510	Sílex	Fragment	40	14		1160	q	p	15	10	5	
D	M24	511	Sílex	Fragment	30	13		1159		p	10	5	2	
D	M24	512	Sílex	BP	8	5		1157	q	p	40	40	20	
D	M24	513	Sílex	BP	70	18		1156	q	p	40	35	10	
D	M24	514	Sílex	BP	82	17		1154	nesw	v	35	30	7	
D	M24	515	Quars	Fragment	85	18		1154			30	30	25	
D	M24	516	Sílex	BPF	65	32		1155	ew	p	10	7	2	
D	M24	517	Sílex	FBP	55	38		1154			10	5	2	Coord. aprox.
D	M24	518	Sílex	BPF	58	46		1152	nesw	sw	35	25	15	
D	M24	519	Sílex	BP	64	47		1153	q	p	40	30	10	
D	M24	520	Sílex	BN2GE	70	46		1156	nesw	vh	60	50	30	
D	M24	521	Sílex	BP	83	48		1155	ns	vh	52	40	8	
D	M24	522	Sílex	BP	85	44		1156	ns	vh	30	25	10	
D	M24	523	Sílex	FBP	65	25		1158			10	5	2	Coord. aprox.
D	M24	524	Sílex	BN2GC	75	40		1158	nesw	vh	40	20	10	
D	M24	525	Sílex	FBP	60	8		1156	nesw	p	40	30	20	
D	M24	526	Sílex	BP	46	3		1162	ew	vh	25	20	8	
D	M24	527	Sílex	BPF	58	13		1160	ns	n	35	20	7	
D	M24	528	Sílex	BP	30	4		1162	ew	w	40	30	15	
D	M24	529	Sílex	FBP	6	20		1158	ns	p	30	20	10	
D	M24	530	Sílex	BP	25	24		1157	nwse	p	60	40	15	
D	M24	531	Quarsita	BN2GC	4	2		1160	ew	p	70	55	20	
D	M24	532	Sílex	BP	10	3		1162	ew	vv	40	36	8	
D	M24	533	Sílex	BP	9	7		1161			18	14	6	
D	M24	534	Sílex	FBP	95	40		1149			15	10	5	
D	M24	535	Sílex	FBP	69	6		1159	nwse	se	20	9	5	
D	M24	536	Sílex	BP	90	12		1156	nesw	sw	10	8	2	
D	M24	537	Sílex	Indeterminat	65	9		1158	nwse	nw	60	37	18	
D	M24	538	Sílex	BP	62	14		1160		vh	22	10	3	
D	M24	539	Sílex	FBP	57	27		1158	ns	s	18	6	3	
D	M24	540	Sílex	Fragment	71	28		1158	nesw	sw	11	10	6	
D	M24	541	Sílex	FBP	93	29		1156	ns	s	12	8	3	
D	M24	542	Sílex	BP	16	17		1161	ns	vh	73	33	17	
D	M24	543	Sílex	BN1GE	3	7		1163	q	p	50	38	16	
D	M24	544	Sílex	BP	3	24		1161			21	11	7	
D	M24	545	Sílex	BP	27	22		1162	ew	s	10	8	2	
D	M24	546	Sílex	BP	23	28		1162	ns	n	55	40	17	
D	M24	547	Sílex	BPF	13	40		1157			14	6	5	
D	M24	548	Sílex	Indeterminat	46	18		1160	nwse	nw	30	16	4	Mesures aprox.
D	M24	549	Sílex	BP	45	35		1152	ew	v	21	18	4	
D	M24	550	Sílex	FBP	51	41		1152		v	32	20	14	
D	M24	551	Sílex	BP	56	49		1154		v	15	7	3	
D	M24	552	Sílex	FBP	68	38		1159	q	p	6	5	1	
D	M24	553	Sílex	FBP	70	17		1159	ew	w	20	11	5	
D	M24	554	Sílex	Indeterminat	69	15		1160			25	20	4	Mesures aprox.
D	M24	555	Sílex	BP	82	5		1159	ns	w	21	11	3	
D	M24	556	Corniana	Indeterminat	7	3		1163	nwse	p	70	35	35	
D	M24	557	Sílex	BP	64	4		1162	ew	p	30	23	11	
D	M24	558	Corniana	FBP	38	16		1155	ns	s	13	7	3	
D	M24	559	Sílex	BP	44	33		1155	nesw	n	29	20	10	
D	M24	560	Sílex	BP	57	36		1160	nwse	p	29	28	7	
D	M24	561	Corniana	FBP	46	40		1158	ns	s	25	10	7	

Niv	Qua	Núm	Material	Categoria	X	Y	Zsup	Zinf	Orien	Pen	Llarg	Amp	Gr	Observacions
D	M24	562	Sílex	FBP	51	49		1156	ns	s	37	28	16	
D	M24	563	Sílex	Indeterminat	66	51		1156		v	30	26	9	Mesures aprox.
D	M24	564	Sílex	Indeterminat	72	50		1155	ns	s	60	35	4	Mesures aprox.
D	M24	565	Sílex	BP	78	53		1145	ew	p	8	7	2	
D	M24	566	Sílex	BP	81	53		1145	ew	s	39	24	11	
D	M24	567	Quars	FBP	96	56		1152	ns	s	13	7	2	
D	M24	568	Corniana	BP	4	4		1165	ew	s	115	60	30	
D	M24	569	Sílex	FBP	16	39		1163	nesw	ne	34	22	14	
D	M24	570	Corniana	Indeterminat	2	50		1162	nwse	p	75	35	20	Mesures aprox.
D	M24	571	Sílex	BP	0	45		1163	nesw	nw	45	39	15	
D	M24	572	Sílex	BP	4	45		1163	nesw	ne	40	30	9	
D	M24	573	Sílex	BN2GC	6	46		1162	nesw	ne	37	25	15	
D	M24	574	Corniana	Indeterminat	13	9		1164	ew	w	60	50	18	Mesures aprox.
D	M24	575	Corniana	Indeterminat	20	3		1162	ns	n	90	65	25	No recuperat
D	M24	576	Sílex	FBP	22	7		1162	nwse	ne	17	9	4	
D	M24	577	Sílex	FBP	23	5		1162	nwse	se	12	7	2	
D	M24	578	Sílex	BPF	16	11		1164	ew	p	28	22	6	
D	M24	579	Corniana	Indeterminat	42	12		1163	ew	p	130	90	20	Mesures aprox.
D	M25	94	Sílex	FBP	0	8		1150	ns	e	16	12	2	
D	M25	95	Sílex	FBP	11	24		1149			11	6	1	
D	M25	96	Sílex	FBP	12	13		1151			11	4	3	Coord. aprox.
D	M25	97	Corniana	Indeterminat	8	14		1151			14	8	6	Coord. aprox.
D	M25	98	Sílex	BP	5	20		1152			9	6	1	Coord. aprox.
D	M25	99	Sílex	BP	30	6		1150	nesw	ne	32	16	11	Cremat
D	M25	100	Sílex	BP	18	5		1155			15	15	3	Coord. aprox. Fragmentat
D	M25	101	Sílex	FBP	12	1		1154			9	6	1	Coord. aprox.
D	M25	102	Sílex	Indeterminat	3	1		1152			5	4	2	Mesures aprox.
D	M25	103	Sílex	BP	23	7		1152	ew	sw	30	26	10	
D	M25	104	Sílex	FBP	28	6		1152			11	4	1	Coord. aprox.
D	M25	105	Sílex	BPF	7	2		1155	ns	w	28	21	5	
D	M25	106	Quars	BP	10	6		1155			11	8	3	Coord. aprox.
D	M25	107	Sílex	Indeterminat	15	8		1155			4	3	1	Coord. aprox.
D	M25	108	Sílex	BP	10	15		1152			8	5	2	Coord. aprox.
D	M25	109	Quarsita	FBP	2	9		1156			17	15	5	
D	M25	110	Sílex	FBP	12	18		1155			10	6	3	Coord. aprox.
D	M25	111	Calcària	Bloc	50	27	1121	1149	ew	w	1000	600	130	
D	M25	112	Sílex	FBP	2	47		1146	ns	s	17	12	5	
D	M25	113	Sílex	FBP	1	30		1151	ew	p	38	15	11	
D	M25	114	Sílex	FBP	54	34		1142	q	p	8	8	1	
D	M25	115	Sílex	BP	79	29		1138	nwse	p	35	16	9	
D	M25	116	Calcària	Bloc	59	7	1140	1144	nwse	p	120	100	35	
D	M25	117	Sílex	FBP	45	12		1145	ew	w	9	5	1	
D	M25	118	Sílex	FBP	38	23		1147	nwse	nw	24	22	9	
D	M25	119	Sílex	BP	43	14		1146		s	13	8	4	
D	M25	120	Sílex	BP	51	13		1145	ns	s	23	17	8	
D	M25	121	Sílex	BPF	79	11		1140			8	6	3	Coord. aprox.
D	M25	122	Sílex	FBP	88	10		1139	ew	w	21	18	8	
D	M25	123	Sílex	BP	57	5		1146			20	10	5	
D	M25	124	Sílex	BP	48	12		1147	ns	p	12	10	2	
D	M25	125	Sílex	BP	37	34		1146	ns	s	18	10	5	
D	M25	126	Calcària	Bloc	23	35	1149	1152	ns		150	130	25	Mesures aprox.
D	M25	127	Sílex	BP	60	8		1146	nesw	nw	37	20	6	

Niv	Qua	Núm	Material	Categoria	X	Y	Zsup	Zinf	Orien	Pen	Llarg	Amp	Gr	Observacions
D	M25	128	Sílex	BP	68	30		1143	nesw	p	17	12	4	
D	M25	129	Sílex	Indeterminat	81	39		1140			15	12	4	
D	M25	130	Sílex	BP	5	46		1141	nesw	s	10	8	2	
D	M25	131	Sílex	FBP	58	48		1141	ew	s	13	10	4	
D	M25	132	Sílex	BN2GC	10	39		1152	nesw	nw	65	35	16	
D	M25	133	Sílex	FBP	93	6		1137	ns	w	20	15	5	
D	M25	134	Sílex	FBP	86	10		1142			10	5	2	
D	M25	135	Quarsita	BN2GC	52	20		1147	ew	n	25	20	12	
D	M25	136	Sílex	FBP	12	34		1152	ns	p	30	28	8	
D	M25	137	Sílex	BP	13	36		1152		s	12	7	5	
D	M25	138	Sílex	BPF	4	24		1151		p	29	28	10	
D	M25	139	Quars	BP	4	27		1155			12	10	3	
D	M25	140	Sílex	FBP	7	33		1155	ew	p	25	20	13	
D	M25	141	Sílex	BPF	14	36		1152	ns	s	12	6	5	
D	M25	142	Sílex	BP	7	46		1150	nesw	sw	28	16	7	
D	M25	143	Sílex	BP	36	20		1144	ew	s	9	6	2	
D	M25	144	Sílex	BPF	45	12		1149	nesw	p	36	23	10	
D	M25	145	Sílex	FBP	50	13		1149			15	7	3	Coord. aprox.
D	M25	146	Sílex	FBP	54	19		1148	nwse	p	35	22	10	
D	M25	147	Sílex	BP	75	4		1145	nwse	sw	40	16	8	
D	M25	148	Sílex	BPF	72	3		1144	nesw	w	23	15	8	
D	M25	149	Sílex	FBP	23	37		1152			6	4	2	Coord. aprox.
D	M25	150	Sílex	BP	21	19		1153	q	p	7	7	3	
D	M25	151	Sílex	FBP	24	17		1153	nesw	p	5	4	2	
D	M25	153	Sílex	BP	74	29		1144			4	3	1	
D	M25	154	Sílex	FBP	75	23		1145	nwse	p	12	5	2	
D	M25	155	Sílex	BP	75	16		1146	ew	w	16	10	4	
D	M25	156	Sílex	BP	86	6		1145	nwse	w	20	14	8	
D	M25	157	Sílex	FBP	88	3		1140	ew	w	28	13	10	
D	M25	158	Sílex	BPF	12	50		1150			11	9	2	Coord. aprox.
D	M25	159	Sílex	BP	41	36		1149			8	6	1	
D	M25	160	Sílex	BP	47	43		1147	ns	w	20	13	6	
D	M25	161	Sílex	BP	59	43		1146	nesw	s	17	14	13	
D	M25	162	Sílex	BP	81	28		1142	nesw	w	30	28	10	
D	M25	163	Sílex	Fragment	86	12		1143			15	10	7	
D	M25	164	Sílex	FBP	90	25		1141	nwse	p	20	15	3	
D	M25	165	Sílex	BN2GE	86	10		1143	nwse	p	50	33	24	
D	M25	166	Sílex	BP	83	3		1145	ns	vh	22	12	3	
D	M25	167	Sílex	BP	82	31		1145	nesw	s	15	12	2	
D	M25	168	Sílex	BP	84	30		1145	ns	s	7	6	1	
D	M25	169	Corniana	BP	85	39		1146	ew	p	25	13	7	
L	K26	43	Corniana	BP	27	85		1271	q	s	18	18	5	
L	K26	44	Sílex	BP	38	96		1270	q	sw	12	9	2	
L	K26	45	Sílex	BP	28	67		1272	ns	n	30	22	8	
L	K26	46	Calcària	Bloc	54	66	1263	1268	ew	w	130	90	50	
L	K26	47	Calcària	Bloc	74	54	1260	1266	nwse	se	125	75	40	
L	K26	48	Calcària	Bloc	68	12	1270	1283	ns	nw	210	105	45	
L	K26	49	Calcària	Bloc	58	33	1270	1277	nesw	sw	180	80	50	
L	K26	50	Calcària	Bloc	52	50	1263	1275	nwse	vh	245	150	80	
L	K26	51	Calcària	Bloc	53	67	1266	1272	ns	s	150	80	35	
L	K26	52	Calcària	Bloc	70	62	1264	1272	q	s	115	105	50	
L	K26	53	Sílex	FBP	35	85		1271	ew	p	53	36	15	
L	K26	54	Sílex	BPF	75	55		1268			25	12	5	

Niv	Qua	Núm	Material	Categoria	X	Y	Zsup	Zinf	Orien	Pen	Llarg	Amp	Gr	Observacions
L	K26	55	Sílex	Fragment	80	50		1268			19	10	5	
L	K26	56	Sílex	BP	82	38		1267			27	12	3	
L	K26	57	Sílex	FBP	81	76		1260	ns	sw	48	29	12	
L	K26	58	Sílex	BP	81	78		1265			12	10	2	Coord. aprox.
L	K26	59	Sílex	BN2GC	69	82		1271	ns	n	50	36	13	
L	K26	60	Calcària	Bloc	45	90	1260	1268	nwse	se	120	75	70	
L	K26	61	Calcària	Bloc	40	76	1264	1275	ns	s	160	110	40	
L	K26	62	Granit	Bn	13	70	1272	1282	q	p	175	150	95	
L	K26	63	Calcària	Bloc	66	86	1265	1269	nwse	se	160	65	35	
L	K26	64	Calcària	Bloc	10	86	1268	1279	q	sw	270	260	100	
L	K26	65	Calcària	Bloc	7	46	1280	1288	nesw	sw	130	70	40	
L	K26	66	Calcària	Bloc	9	18	1287	1293	q	p	140	120	50	
L	K26	67	Sílex	FBP	50	96		1267			16	10	2	
L	K26	68	Calcària	Bloc	86	84	1243	1265	ew	sw	260	150	130	
L	K26	69	Calcària	Bloc	40	47	1262	1290	ew		480	300	170	
L	K26	70	Calcària	Bloc	50	75	1268	1289	ns		240	200	110	
L	K26	71	Sílex	BP	29	98		1275	q	s	8	8	2	
L	K26	72	Calcària	Bloc	27	77	1277	1283	nesw	sw	210	120	60	
L	K26	73	Calcària	Bloc	7	48	1285	1291	nesw	sw	140	100	40	
L	K26	74	Calcària	Bloc	54	65	1275	1285	ew	sw	210	100	55	
L	K26	75	Calcària	Bloc	23	27	1279	1291	q	p	300	290	90	
L	K26	76	Calcària	Bloc	41	24	1279	1288	nesw	vh	110	80	80	
L	K26	77	Calcària	Bloc	53	22	1279	1286	q	p	135	125	55	
L	K26	78	Sílex	FBP	20	8		1290			16	14	4	Coord. aprox.
L	K26	79	Sílex	BN2GC	20	35		1292	ns	s	40	34	9	
L	K26	80	Calcària	Bloc	12	33	1288	1294	nwse	nw	150	70	35	
L	K26	81	Calcària	Bloc	40	80	1279	1289	nesw	sw	125	90	45	
L	K26	82	Calcària	Bloc	81	41	1281	1287	nesw	n	170	70	25	
L	K26	83	Calcària	Bloc	50	12	1284	1291	nesw	nw	140	90	30	
L	K26	84	Calcària	Bloc	9	24	1290	1296	nwse	p	110	90	50	
L	K26	85	Sílex	FBP	30	4		1293	ew	vh	46	20	11	
L	K26	86	Sílex	FBP	13	23		1296			15	13	11	Coord. aprox.
L	K26	87	Os	Fragment	16	14		1296			13	3	1	
L	K26	88	Calcària	Bloc	33	44	1285	1295	nwse	nw	260	150	40	
L	K26	89	Os	Fragment	15	42		1296			15	4	2	Cremat
L	K26	90	Calcària	Bloc	77	19	1275	1285	ns	n	160	140	70	
L	K26	91	Calcària	Bloc	85	6	1266	1279	nesw	sw	230	90	45	
L	K26	92	Calcària	Bloc	80	10	1279	1290	nesw	p	230	140	80	
L	K26	93	Calcària	Bloc	77	83	1279	1288	nesw	s	200	130	75	
L	K26	94	Calcària	Bloc	75	53	1286	1292	nwse	s	120	100	25	
L	K26	95	Calcària	Bloc	62	40	1287	1296	nwse	se	115	70	50	
L	K26	96	Calcària	Bloc	85	35	1282	1291	ns	w	150	115	70	
L	K26	97	Calcària	Bloc	47	29	1287	1295	nesw	w	270	210	60	
L	K26	98	Calcària	Bloc	56	16	1288	1301	nwse	ne	150	100	60	
L	K26	99	Calcària	Bloc	0	14	1290	1309	ew	w	330	220	130	
L	K26	100	Quars	BP	73	93		1290			35	18	16	
L	K26	101	Sílex	BP	57	24		1296			18	11	3	Coord. aprox.
L	K26	102	Sílex	BP	24	50		1298	q	s	18	18	4	
L	K26	103	Sílex	BPF	34	43		1300	nesw	ne	60	30	12	
L	K26	104	Calcària	Bloc	48	70	1289	1297	nwse	nw	110	90	60	
L	K26	105	Calcària	Bloc	4	39	1300	1305	nesw	sw	115	100	40	
L	K26	106	Os	Fragment	54	40		1297			12	5	4	Cremat
L	K26	107	Os	Fragment	52	56		1295	nwse	p	16	3	2	Cremat

Niv	Qua	Núm	Material	Categoria	X	Y	Zsup	Zinf	Orien	Pen	Llarg	Amp	Gr	Observacions
M	K26	1	Calcària	Bloc	60	78	1294	1302	q	se	140	135	25	
M	K26	2	Calcària	Bloc	32	85	1296	1303	nesw	sw	150	70	40	
M	K26	3	Calcària	Bloc	38	65	1295	1302	nwse	s	130	80	40	
M	K26	4	Calcària	Bloc	32	59	1300	1304	q	p	160	155	40	
M	K26	5	Calcària	Bloc	79	70	1290	1300	nesw	ne	210	155	90	
M	K26	6	Calcària	Bloc	66	53	1291	1307	nesw	w	240	180	100	
M	K26	7	Calcària	Bloc	47	10	1298	1303	ew	p	130	100	40	
M	K26	8	Calcària	Bloc	33	0	1301	1314	nesw	sw	210	120	55	
M	K26	9	Calcària	Bloc	18	10	1290	1311	ew	w	540	270	190	
M	K26	10	Calcària	Bloc	16	54	1301	1313	nwse	sw	190	130	80	
M	K26	11	Calcària	Bloc	50	45	1294	1311	nwse	sw	250	170	110	
M	K26	12	Calcària	Bloc	38	7	1303	1311	nesw	sw	190	110	50	
M	K26	13	Calcària	Bloc	17	54	1301	1314	nwse	p	200	150	50	
M	K26	14	Calcària	Bloc	24	73	1301	1310	ew	p	180	130	60	
M	K26	15	Calcària	Bloc	52	89	1297	1305	nesw	ne	170	100	60	
M	K26	16	Calcària	Bloc	56	25	1296	1311	nesw	w	260	170	55	
M	K26	17	Calcària	Bloc	68	41	1305	1311	ew	sw	180	150	50	
M	K26	18	Calcària	Bloc	65	15	1297	1305	nesw	sw	140	100	60	
M	K26	19	Calcària	Bloc	74	5	1287	1305	nesw	n	270	180	100	

Annex 3: Estudi dels materials **A3**

A3.1.- Indústria lítica

L'excavació portada a terme el maig de 2007 al jaciment de la Cansaladeta va proporcionar 570 peces d'indústria lítica (és a dir el 88,2% de tots els elements inventariats, i el 98,8% del material arqueològic). La indústria lítica correspon a dos nivells arqueològics: D i L.

Al nivell D es van recuperar 549 artefactes, localitzats a 8 quadres diferents: L22, L23, L24, L25, M22, M23, M24 i M25. Destaca de descoberta de 165 peces al quadre M23. La matèria primera més utilitzada és el sílex, amb el 86% dels efectius. Segueixen en importància la corniana (8,6%), el quars (amb un 3,3%), i la quarsita (2,2%) (Taula 1). Totes les matèries primeres es poden aconseguir amb relativa facilitat a l'entorn del jaciment. Les terrasses del riu Francolí podrien haver proporcionat la majoria de les roques utilitzades a la Cansaladeta. El sílex també es pot trobar a les formacions del Muschelkalk o a formacions eocenes, mentre que les roques metamòrfiques i el quars es poden obtenir a les formacions del Bundsantein.

INDÚSTRIA LÍTICA DEL NIVELL D																		
	Bn		BN1GE		BP		FBP		BN2GE		BN2GC		Frag		Indet		Total	
Sílex			7	1,5%	223	47,2%	153	32,4%	2	0,4%	12	2,5%	42	8,9%	33	7%	472	86,0%
Corniana					10	21,3%	4	8,5%					4	8,5%	29	61,7%	47	8,6%
Quars					5	24,8%	7	38,9%					6	33,3%			18	3,3%
Quarsita	1	8,3%			4	33,3%	4	33,3%			2	16,7%	1	8,3%			12	2,2%
Total	1	0,2%	7	1,3%	242	44,1%	168	30,6%	2	0,4%	14	2,6%	53	9,7%	62	11,3%	549	

Taula 1: Indústria lítica del nivell D de la Cansaladeta (excavació 2007), en funció de la matèria primera i la categoria estructural

La majoria dels objectes del Nivell D són Bases Positives (n=242, 46,5% dels efectius) (Taula 1). La segona categoria estructural és la dels fragments de Base Positiva (FBP), amb un 30,6%. La categoria dels fragments compta amb un 9,7%. Un 11,3% dels objectes són indeterminables, com a conseqüència del seu dolent estat de conservació. Aquesta problemàtica afecta especialment al sílex i a la corniana. La resta de categories estructurals tenen pocs efectius. Concretament hem localitzat 14 ascles retocades (BN2GC) i 9 nuclis. Destaca l'existència de dues ascles retocades de quarsita. La majoria de les ascles retocades han estat classificades tipològicament com a denticulats i rascadores. Entre el nuclis, 7 són sobre

còdol o nòdul (BN1GE) i 2 sobre ascla (BN2GE). Tots el nuclis són de sílex. També hem localitzat una Base natural (Bn) de quarsita.

Al nivell L es van recuperar 21 artefactes, localitzats al quadre K26 (Taula 2). Aquests objectes van ser tallats utilitzant sílex (n=18), quars (n=1), corniana (n=1) i granit (n=1). Al nivell L hem identificat Bases Positives (n=11), Fragments de BP (n=6), un Fragment i una Base natural. A més, destaca l'aparició de dues ascles retocades (en sílex). Durant aquesta campanya no hem trobat cap nucli en el nivell arqueològic L (Taula 2).

INDÚSTRIA LÍTICA DEL NIVELL L														
	Bn		BP		FBP		BN2GC		Frag		Indet		Total	
Sílex			9	50,0%	6	33,3%	2		1	5,6%			18	85,7%
Corniana			1	100%									1	4,8%
Quars			1	100%									1	4,8%
Granit	1	100%											1	4,8%
Total	1	4,8%	11	52,4%	6	28,6%	2	9,5%	1	9,5%	0		21	

Taula 2: Indústria lítica del nivell L de la Cansaladeta (excavació 2007), en funció de la matèria primera i la categoria estructural

En general, la matèria primera més utilitzada als dos nivells excavats durant la campanya de 2007 és el sílex. La segona roca més utilitzada és el quars, seguida per la corniana i la quarsita (Figura 14).

Cansaladeta 2007
Materies primeres de la indústria lítica

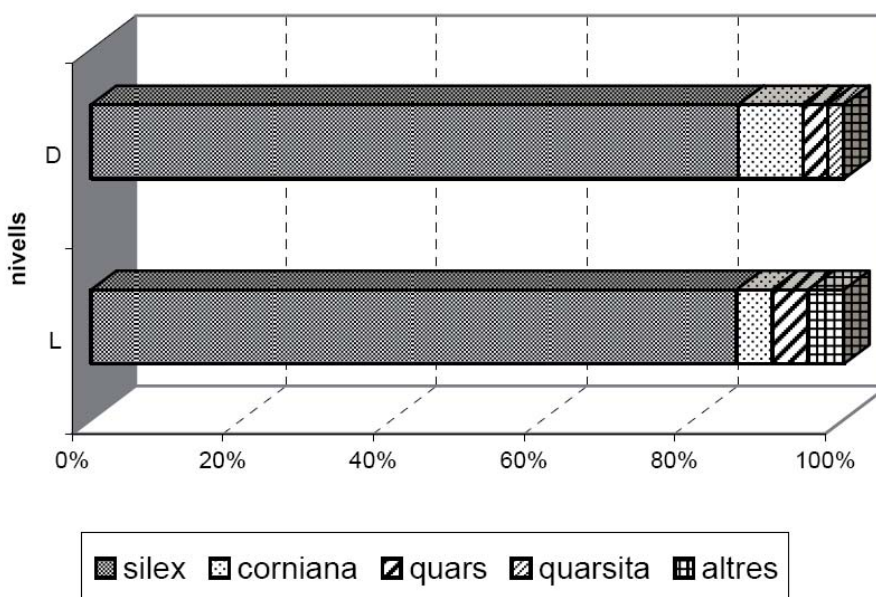


Figura 14: Materies primeres dels nivells excavats durant la campanya de 2007

La classificació del material lític per categories estructurals indica un clar predomini de les Bases Positives (Figura 15). La segona categoria més representada és la dels fragments de Base Positiva (FBP), seguida pels Fragments Durant la campanya de 2007 solament hem localitzat 16 BN2GC, la majoria procedents del nivell D (n=14). També destaca la presència de 7 nuclis al nivell L, encara que el número de nuclis recuperats és molt poc significatiu. És interessant destacar que durant aquesta campanya no s'ha trobat cap còdol tallat (BN1GC). Les peces indeterminables a causa de la seva dolenta conservació suposen el 11% del registre del nivell D.

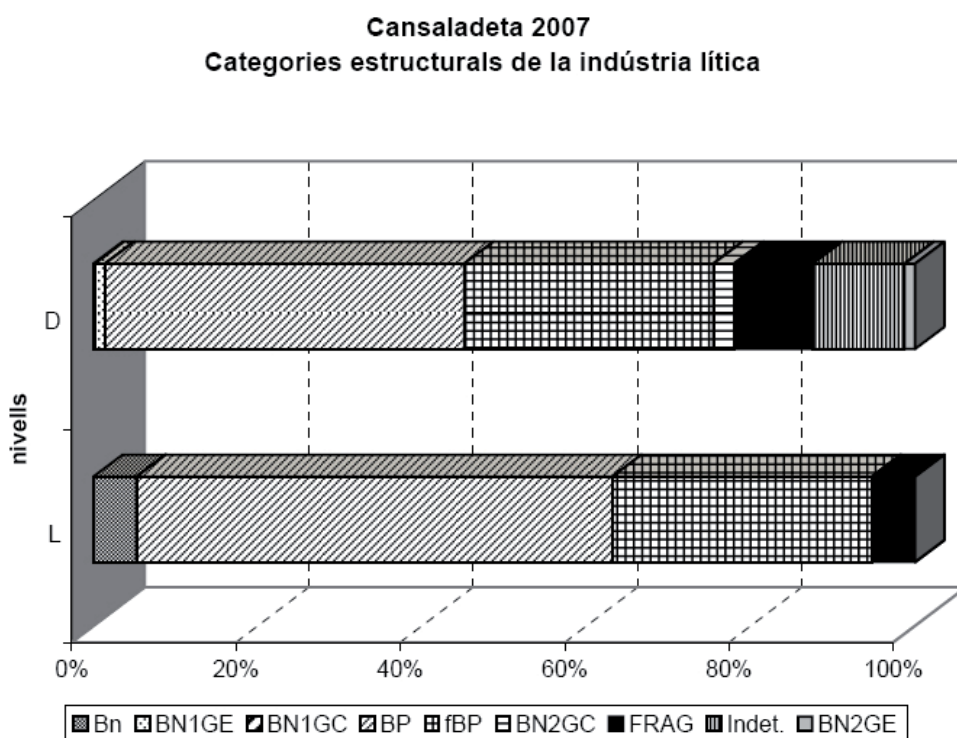


Figura 15: Representació de categories estructurals dels nivells excavats durant la campanya de 2007

Entre totes les peces lítiques recuperades durant la campanya de 2007 solament sis superen el 100 mm de llargària màxima: 5 són de corniana (tres BP i dues peces indeterminables) i 1 de granit (una Base natural). D'altra banda, el 46,1% de les Bases Positives tenen una llargària de menys de 20 mm. El promig de la llargària de les BP és de 27 mm. D'altra banda, el promig de la llargària de les BN2GC és de 49 mm., encara que tenim 8 BN2GC amb llargària superior als 50 mm (mai per sobre dels 70 mm). Aquestes dades indiquen que el format de la indústria lítica és en general reduït.

Les set campanyes d'excavació portades a terme a l'abric de la Cansaladeta han

proporcionat fins al moment actual 5766 artefactes lítics. El número de peces recuperades és molt significatiu si tenim present el fet que hem excavat una petita part de la superfície total del jaciment. La indústria lítica està repartida en 11 nivells arqueològics. Fins al moment, el nivell que ha proporcionat més restes és el D (amb 3162 peces), seguit pel J (1061), el K (729), i el C (437) (Figura 16). Els nivells amb menys efectius són el H (1 peça), el M (8 peces) i el G (10 peces).

La matèria primera més utilitzada a la Cansaladeta és el sílex (amb un 85%), que predomina clarament als nivells amb més material arqueològic. Les categories estructurals amb més efectius són les Bases Positives i els fragments de BP. En general cal destacar la poca representació d'ascles retocades (BN2GC) i nuclis (BN1GE).

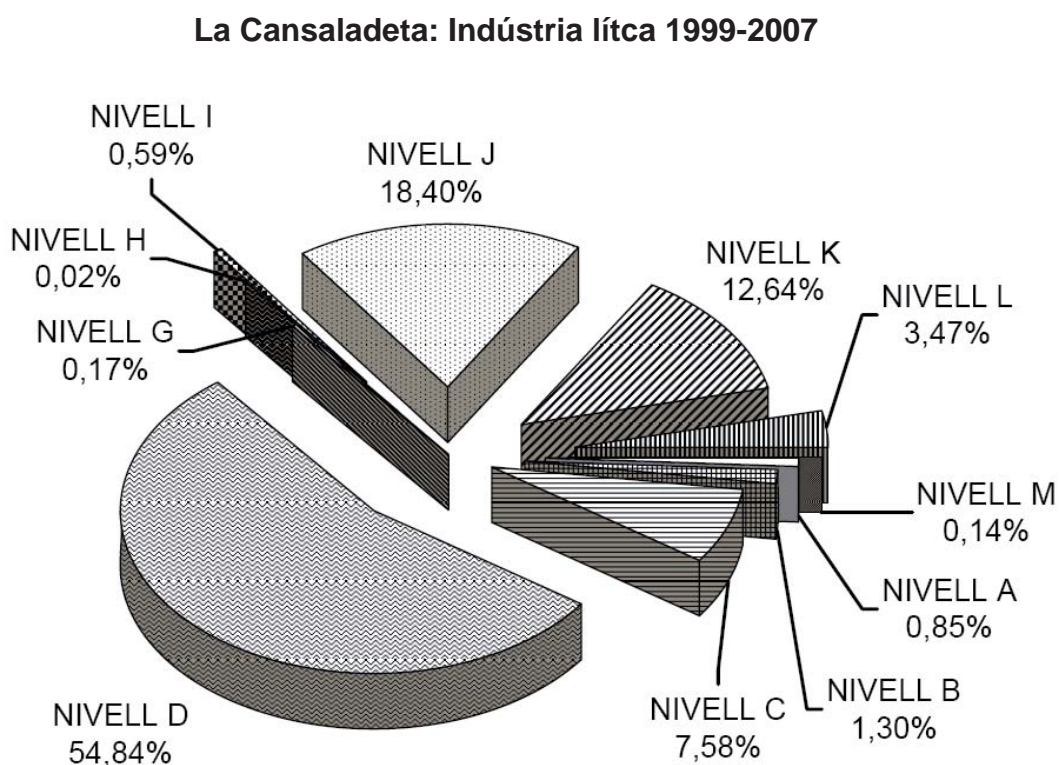


Figura 16: Efectius per nivells arqueològics d'indústria lítica de les campanyes de 1999, 2002, 2003, 2004, 2005, 2006 i 2007

Annex 4: Fotografies dels materials més significatius

A4



Figura 17: BN1GE de sílex. CAN07, nivell D, L25, nº 459



Figura 18: BN1GE de sílex. CAN07, nivell D, M24 nº 504



Figura 19: BN1GE de sílex. CAN07, nivell D, M23 nº 696



Figura 20: BP de sílex. CAN07, nivell D, L23 nº 185

La Cansaladeta, 2007



Figura 21: BP de corniana. CAN07, nivell D,
L23 nº 186



Figura 22: BP de sílex. CAN07, nivell D, L24
nº 419



Figura 23: BP de quarzita. CAN07, nivell D,
M23 nº 627



Figura 24: BP de sílex. CAN07, nivell D, L23
nº 167



Figura 25: BP de sílex. CAN07, nivell D, M23
nº 758



Figura 26: BP de quars. CAN07, nivell D, M24
nº 485



Figura 27: BP de sílex. CAN07, nivell D, M24
nº 513



Figura 28: BP de sílex. CAN07, nivell D, M24
nº 571



Figura 29: BN2GC de sílex. CAN07, nivell D, M24 n° 487



Figura 30: BN2GC de sílex. CAN07, nivell D, M25 n° 132



Figura 31: BN2GC de sílex. CAN07, nivell L, K26 n° 59



Figura 32: BN2GC de sílex. CAN07, nivell L, K26 n° 79

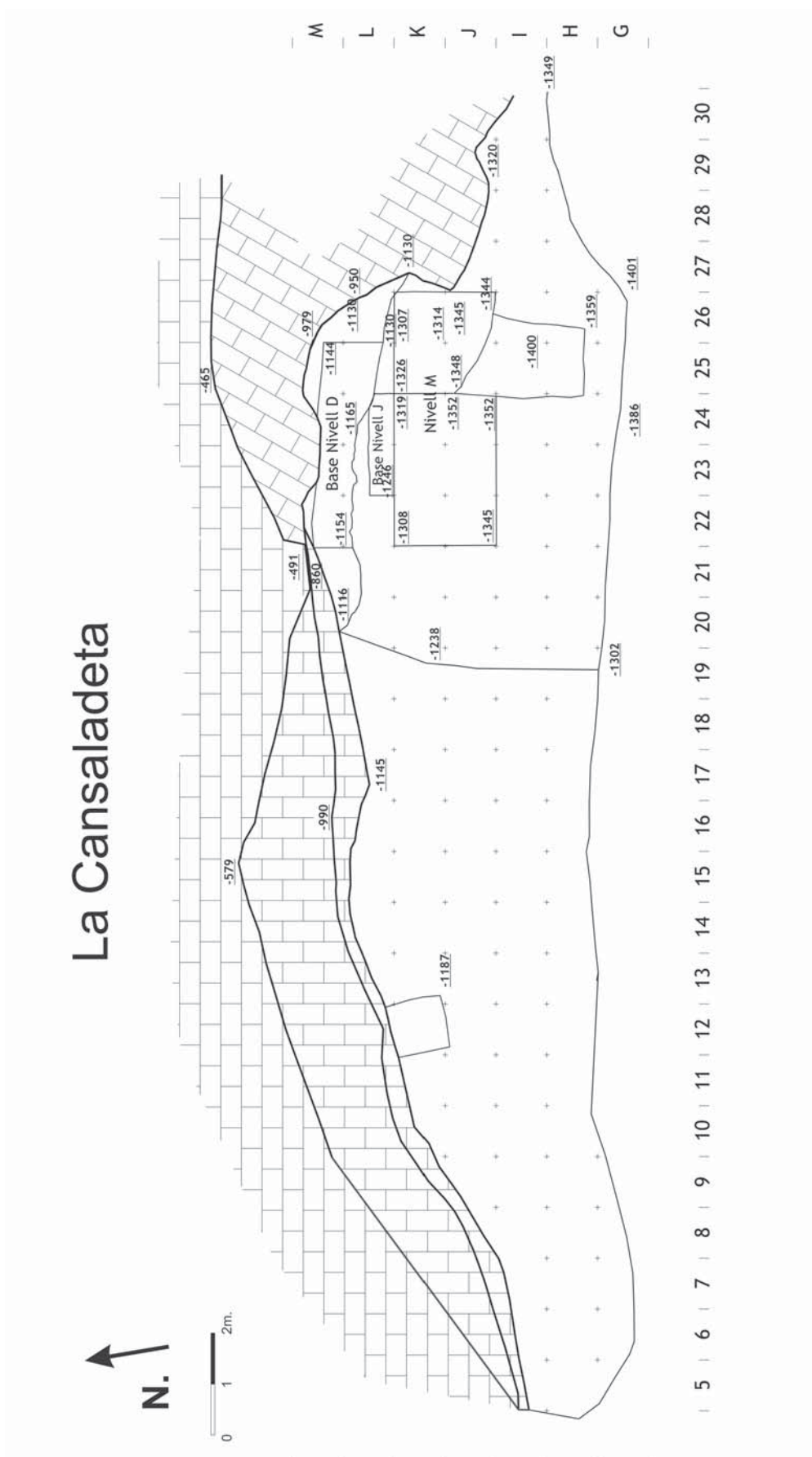


Figura 33: Planta del jaciment de la Cansaladeta, amb cotes referides al nivell 0 de l'excavació de 2007

Bibliografia 8

ANGELUCCI, D., GENÉ, J. M^a., OLLÉ, A., VAQUERO, M., VERGÈS, J. M^a., ALLUÉ, E., FONTANALS, M., IBÁÑEZ, N., LOZANO, M., RODRÍGUEZ, X. P., SALADIÉ, P. & J. ZARAGOZA (2003): Darreres intervencions arqueològiques en jaciments paleolítics de la conca del Francolí: La Cansaladeta (La Riba, Alt Camp) i El Molí del Salt (Vimbodí, Conca de Barberà). *Tribuna d'Arqueologia 1999-2000*: 23-63.

ANGELUCCI, D., GENÉ, J.M., OLLÉ, A., RODRÍGUEZ, X.P., VAQUERO, M., VERGÈS, J.M., FONTANALS, M., ALLUÉ, E., CÁCERES, I., GARCÍA, M., IBÁÑEZ, N., LÓPEZ-PO-LÍN, L., LOZANO, M., SALADIÉ, P., VALLVERDÚ, J. & ZARAGOZA, J. (2004): Evolu-ción Paleoambiental y Poblamiento prehistórico en las cuencas de los ríos Francolí y Gaià. *Actas del 1er. Congreso Peninsular de Estudiantes de Prehistoria*, pp. 220-224. Tarragona: Universitat Rovira i Virgili.

ANGELUCCI, D.; CÁCERES, I.; LOZANO, M.; OLLÉ, A.; RODRÍGUEZ, X.P.; VERGÈS, J.M.; (2004): El jaciment de La Cansaladeta (La Riba, Alt Camp) en el marc del Plistocè Mitjà català. *Cypselà* 15: 151-170.

Institut Cartogràfic de Catalunya. *Mapa Topogràfic de Catalunya 1:5.000*. Full 446-1-1. La Riba

OLLÉ, A.; VERGÈS, J.M.; RODRÍGUEZ, X.P. (2004): El jaciment de La Cansaladeta (La Riba, Alt Camp): primers resultats. *Quaderns de Vilaniu* 45: 127-144.